

Reunión Anual SOCIEDAD ESPAÑOLA DE NEURORRADIOLOGÍA

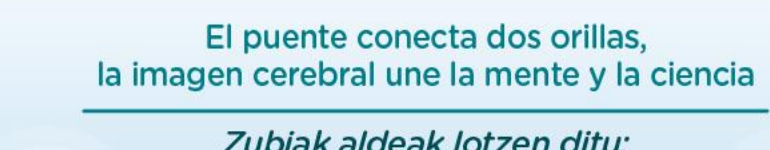
Imagen de la hemorragia cerebral primaria y secundaria

Ana Ramos

Hospital 12 de Octubre, Madrid











Introducción



La hemorragia intracraneal (HIC) supone un 20% de los ictus cerebrales y es la forma de peor pronóstico Incidencia similar en los ultimas 3 décadas

ETIOLOGÍA

- 。 Primarias (75-88%) por enfermedad de pequeño vaso
 - Arteriopatía hipertensiva
 - Angiopatía amiloide cerebral (AAC)
- Secundarias
 - Causas estructurales y vasculares (Tumores y Malf Vasculares)

Pronóstico depende de la causa y de la rapidez del tratamiento.

¿Cuándo debemos de realizar RM?

- RM para determinar la etiología. RM puede detectar datos de enfermedad de pequeño vaso, tumores, infartos hemorrágicos etc
- No realizar de rutina arteriografía convencional, reservar cuando hay alta sospecha de malformación vascular
- RM durante ingreso se realiza siempre excepto:
 - ✓ Pacientes > 65 años con hematoma en tálamo o GGBB
 - ✓ Cualquier hemorragia en mayores de 85 años (RM no inmediata).

TC detecta y la RM caracteriza.

Función radiólogo: esclarecer la causa del sangrado



Microhemorragias

□Frecuencia

- Edad: 40% en >80 años;
- 6% en <50años

☐ Factores de riesgo

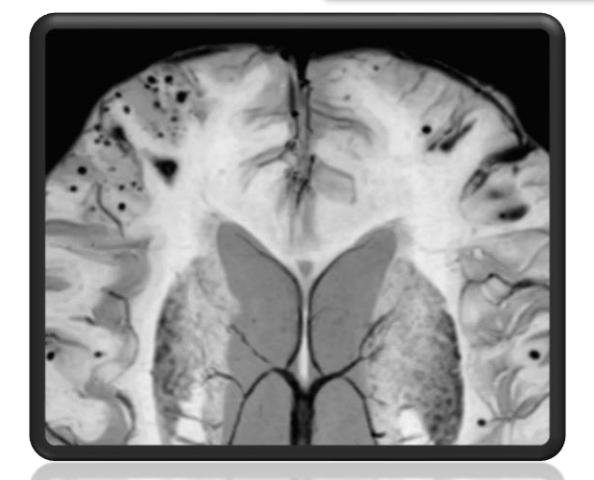
- · Edad
- · HTA
- Leucoaraiosis
- Infartos lacunares
- · Genéticos: Apo E ε4 allele: micros de loc lobar
- Mayor relación con los factores de riesgo vascular que con la edad

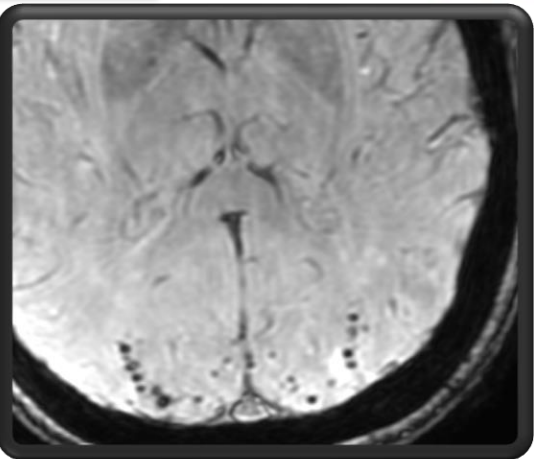
• Que riesgo tienen?

- · Mayor riesgo de recurrencia de HIC o infarto isquemico .
- Riesgo de HIC 9.8 vs 2,6 por 1000 pacientes /año
- · No contraindicación de anticoagulación ni trombolisis
- Marcador de enfermedad cerebro-vascular en curso

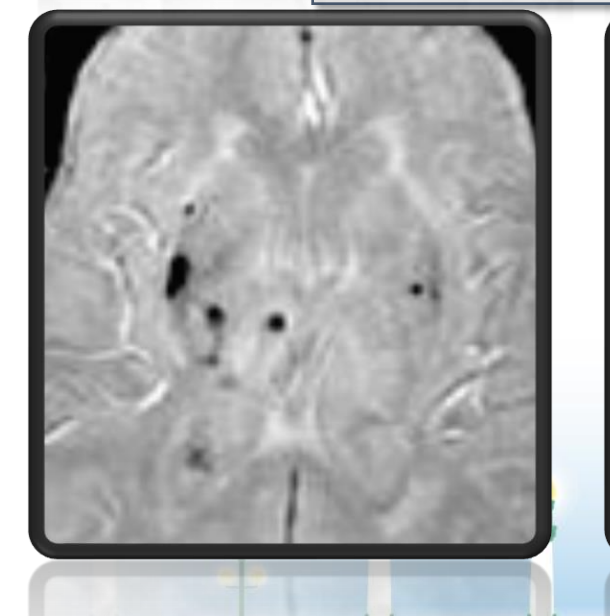


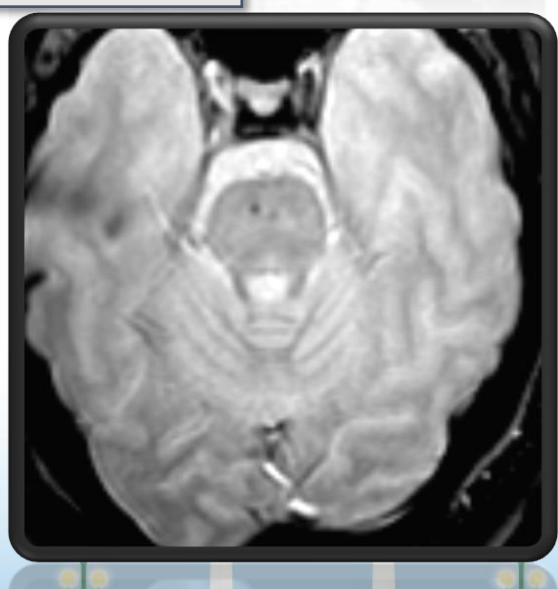






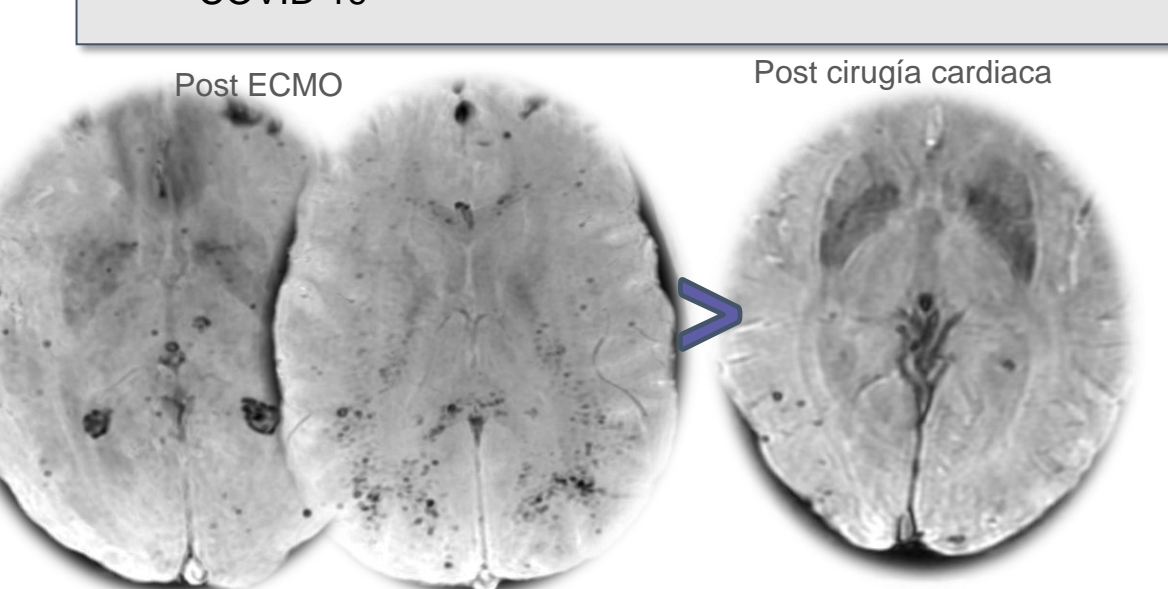
Localización central en GGBB y tronco

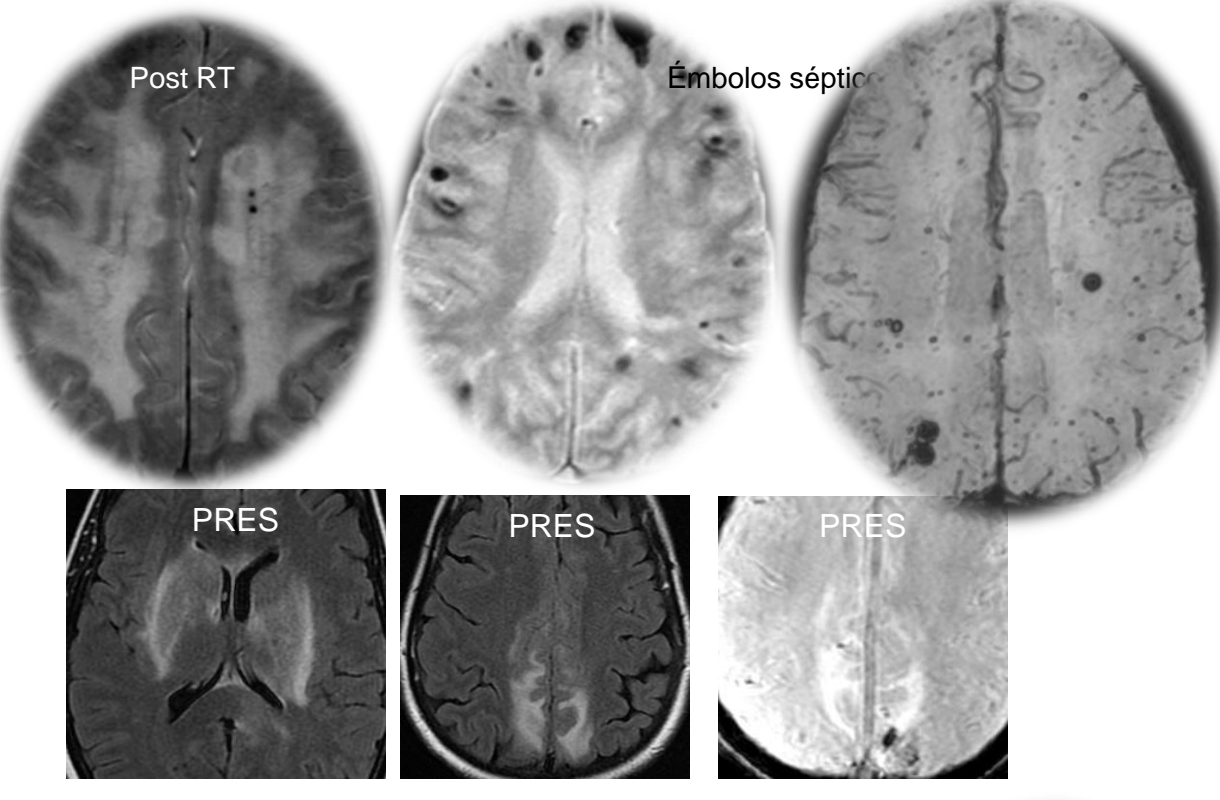


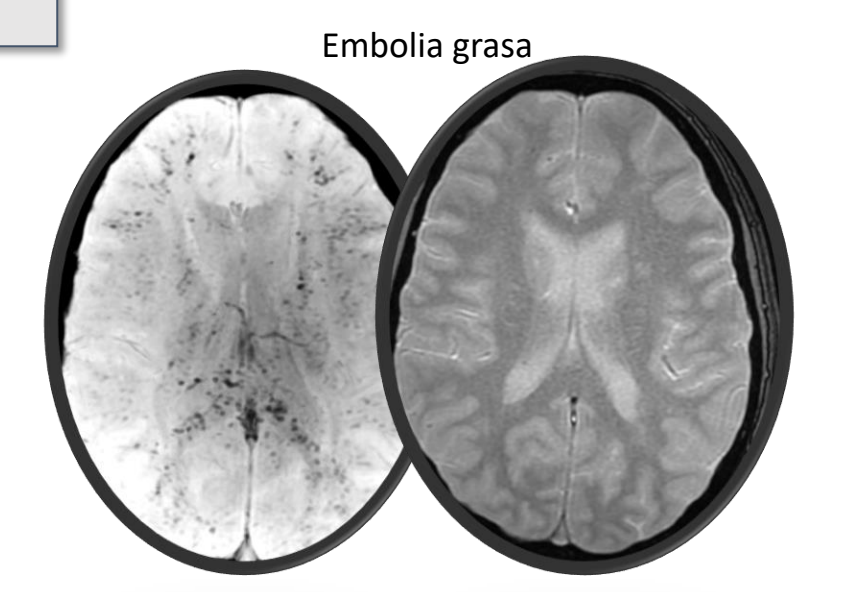


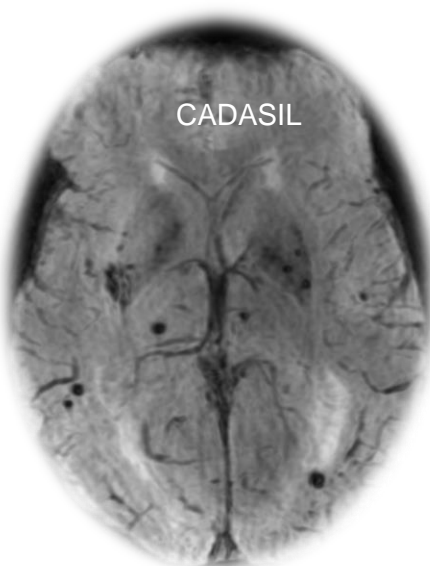
Causas infrecuentes de microhemorragias

- Vasculitis cerebral
- Vasculopatía por radiación
- Endocarditis/embolismos sépticos (55%corticales)
- Enf de Moya-Moya
- Leucoencefalopatía posterior reversible (PRES 58% con SWI)
- Embolismo graso (esplenio del cuerpo calloso)
- Cirugia valvular cardiaca
- Sindrome de Sneedon
- Coagulación intravascular diseminada
- Purpura trombocitopenica idiopática
- IR y diálisis
- ECMO (Sistema de Oxigenación por Membrana Extracorpórea)
- Vasculopatías hereditarias (CADASIL 40%, Enf Fabry)
- COVID 19

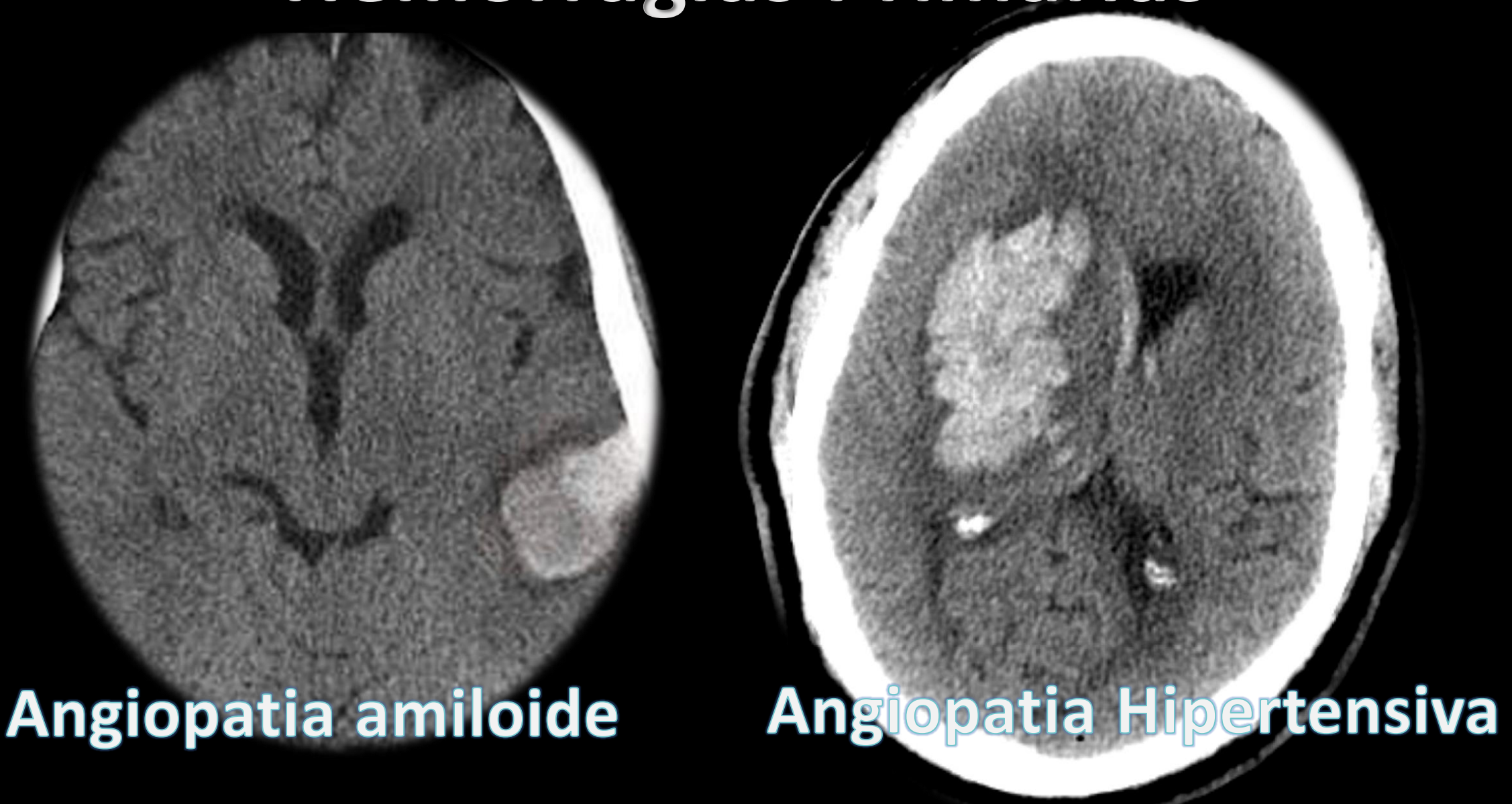




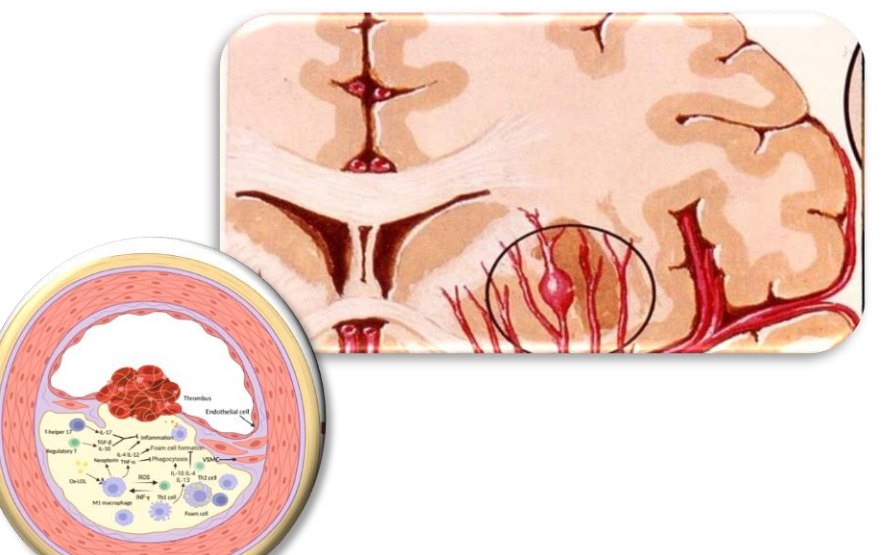




Hemorragias Primarias









Pueden coexistir especialmente en ancianos

• El término enfermedad cerebral de pequeño vaso se usa indiscriminadamente para describir tanto los hallazgos de neuroimagen como los hallazgos en anatomía patológica.

Angiopatia amiloide cerebral (AAC) (15% de los HIC)

- Condición frecuente en pacientes de edad avanzada
- Deposito de *B* amiloide en la capa media y adventicia de las arteriolas y capilares corticales y leptomeninges.

Angiopatia hipertensiva

- Proceso de degeneración arteriolar
- Relacionado con edad y con factores riesgo vascular (HTA y diabetes)
- Afecta a arteriolas perforantes de GGBBy de SB profunda.
- EN AP vemos arterioloesclerosis, lipohialinosis y aneurismas de Charcot Bouchard



Angiopatia amiloide cerebral

Es una EVPV se asocia con hemorragia lobar en individuos de edad avanzada.

Tres características clínicas:

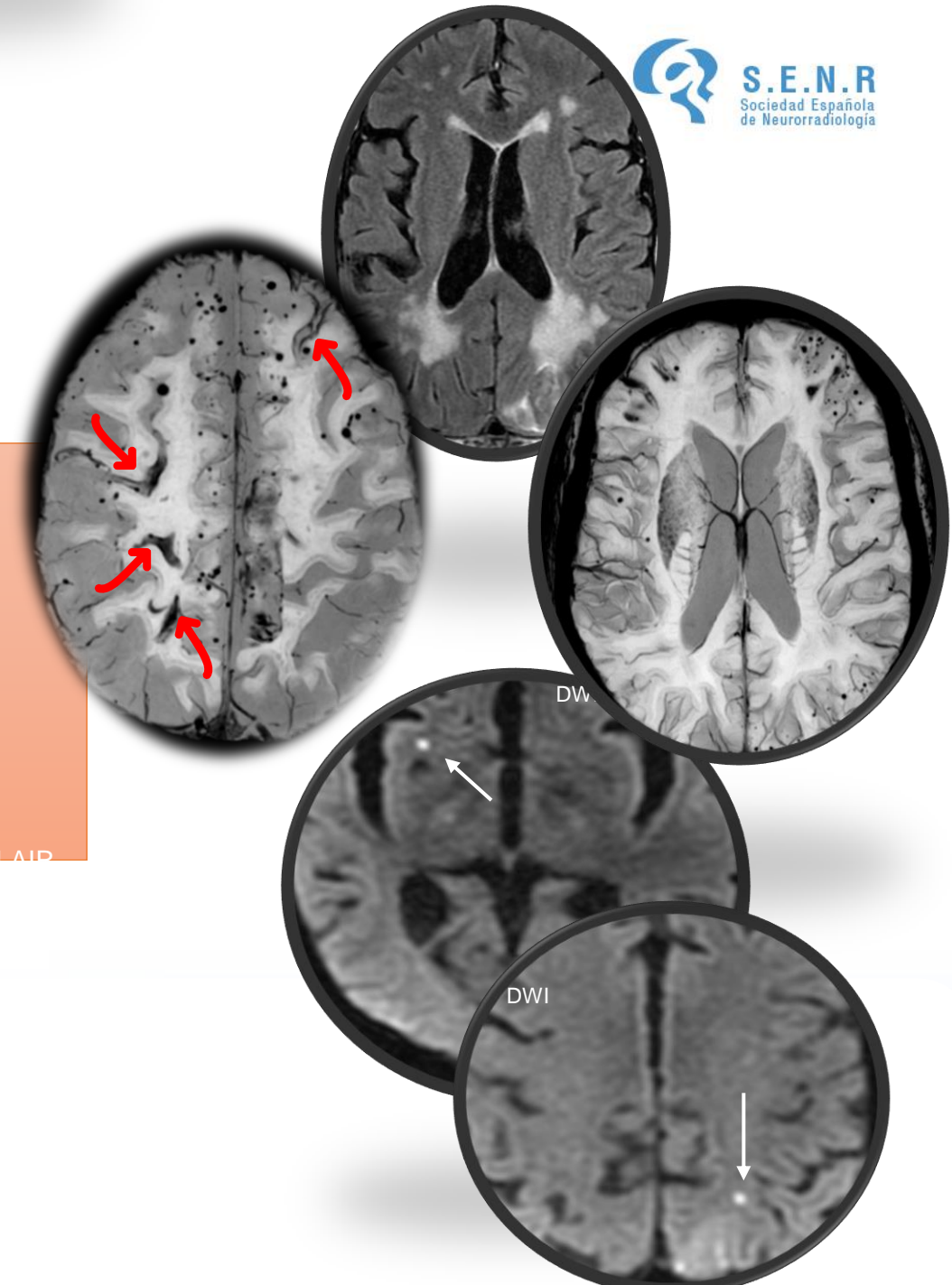
- alta tendencia a la recurrencia,
- asocian deterioro cognitivo
- " amiloid spells"

Asocia en RM biomarcadores importantes:

- 1. Múltiples microhemorragias lobares, periféricas
- 2. Leucoaraiosis (hiperintensidades en sustancia blanca).
- 3. Siderosis superficial cortical. Afecta a los vasos leptomeningeos y corticales.
- Microinfartos cerebrales.
- 5. Dilatación de los espacios de Virchow Robin en sustancia blanca.

Los espacios perivasculares dilatados son un marcador de neuroimagen de EVPV Los EPV dilatados de la convexidad y del centro semioval son más frecuentes en las hemorragias intracraneales causadas por CAA que por otras causas







Criterios Boston 2.0



Los <u>Boston criteria 2.0</u> son una , combinacion de criterios radiologicos, patológicos y radiologicos con el objetivo de diagnosticar una angiopatia amiloide.

No se requiere confirmación patológica para pacientes <u>de 50 años</u> o más presentación con: a) <u>hemorragia intracerebral</u> espontánea, b) <u>episodios neurológicos focales transitorios</u> o c) <u>deterioro cognitivo o demencia</u>

Probable

2 lesiones hemorragias en cualquier combinación :

- Hemorragia intracerebral lobar
- Microhemorragias
- Siderosis superficial (contaje independiente)
- HSA en convexidad



Hemorragia lobar

+

LESION DE SUSTANCIA BLANCA

- Espacios PV en CSO (>20 en 1 hemisferio)
- Patrón multispot en de hiperintensidades en SB >10

Posible

1 lesiones hemorragias en cualquier combinación :

- Hemorragia intracerebral lobar
- Microhemorragias
- Siderosis superficial (contaje independiente)
- HSA en convexidad



LESION DE SUSTANCIA BLANCA

- Espacios PV en CSO (>20 en 1 hemisferio)
- Patrón multispot en de hiperintensidades en SB >10 bilaterales y subcorticales



Criterios Boston 2.0



Los <u>Boston criteria 2.0</u> son una , combinacion de criterios radiologicos, patológicos y radiologicos con el objetivo de diagnosticar una angiopatia amiloide.

Pacientes <u>de 50 años</u> o más presentación con: a) <u>hemorragia intracerebral</u> espontánea, b) episodios neurológicos focales <u>transitorios</u> o c) deterioro cognitivo o <u>demencia</u>

Probable

2 lesiones hemorragias en cualquier combinación :

- Hemorragia intracerebral lobar
- Microhemorragias
- Siderosis superficial (contaje independiente)
- HSA en convexidad

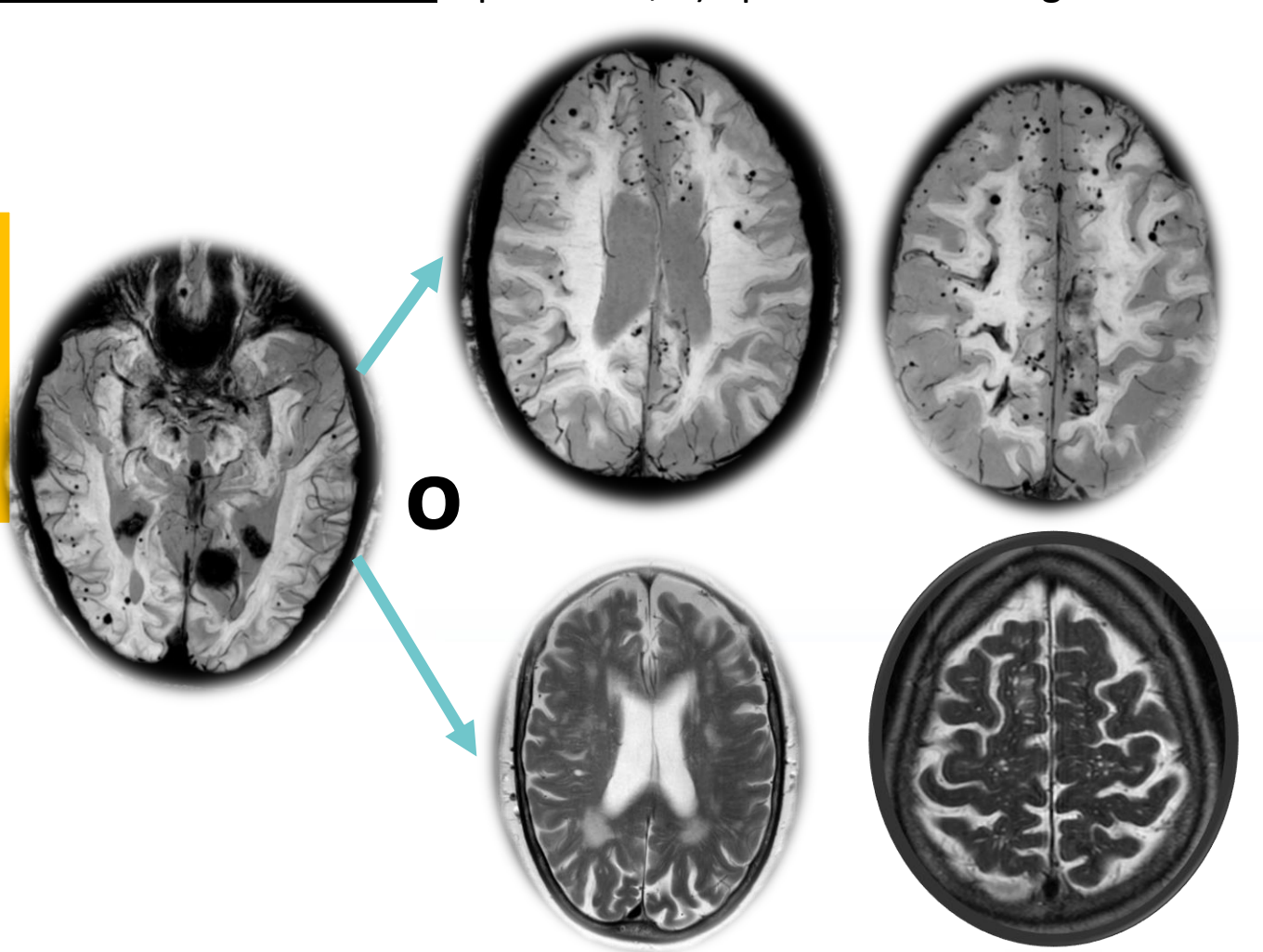
0

Hemorragia lobar

+

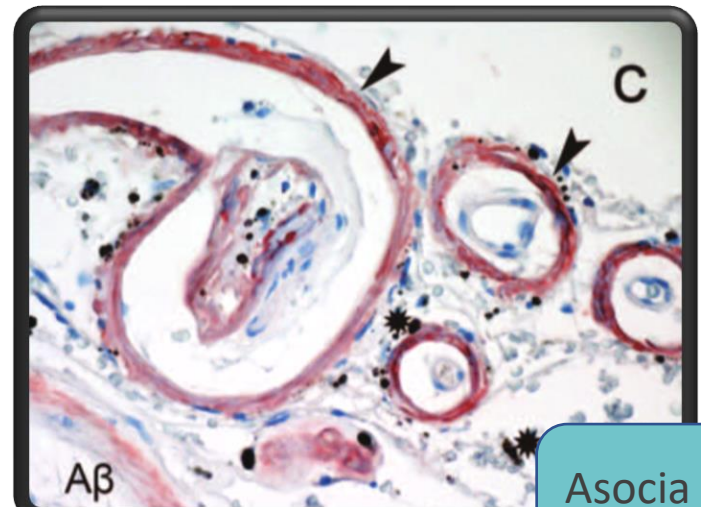
LESION DE SUSTANCIA BLANCA

- Espacios PV en CSO (>20 en 1 hemisferio)
- Patrón multispot en de hiperintensidades en SB >10

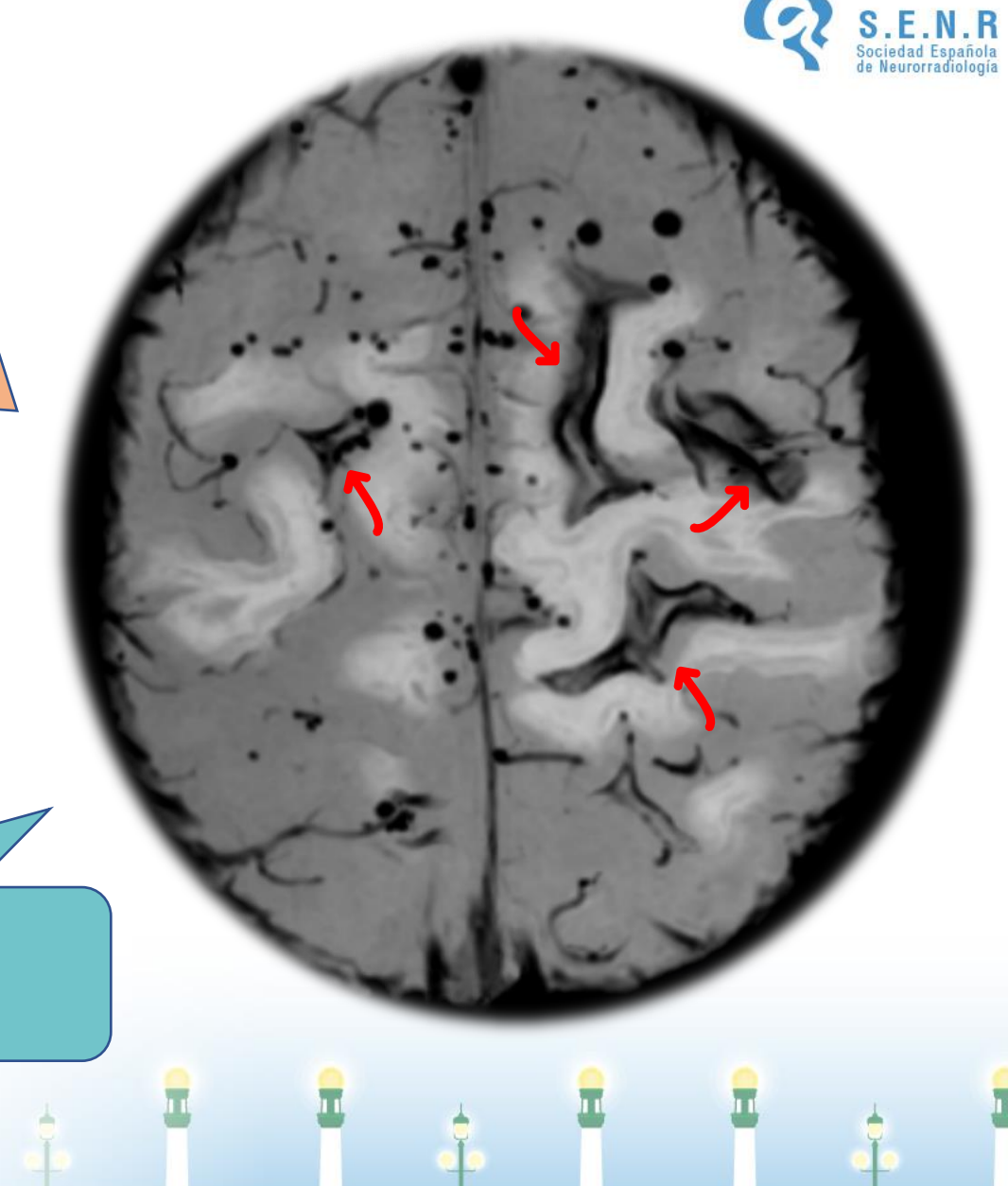


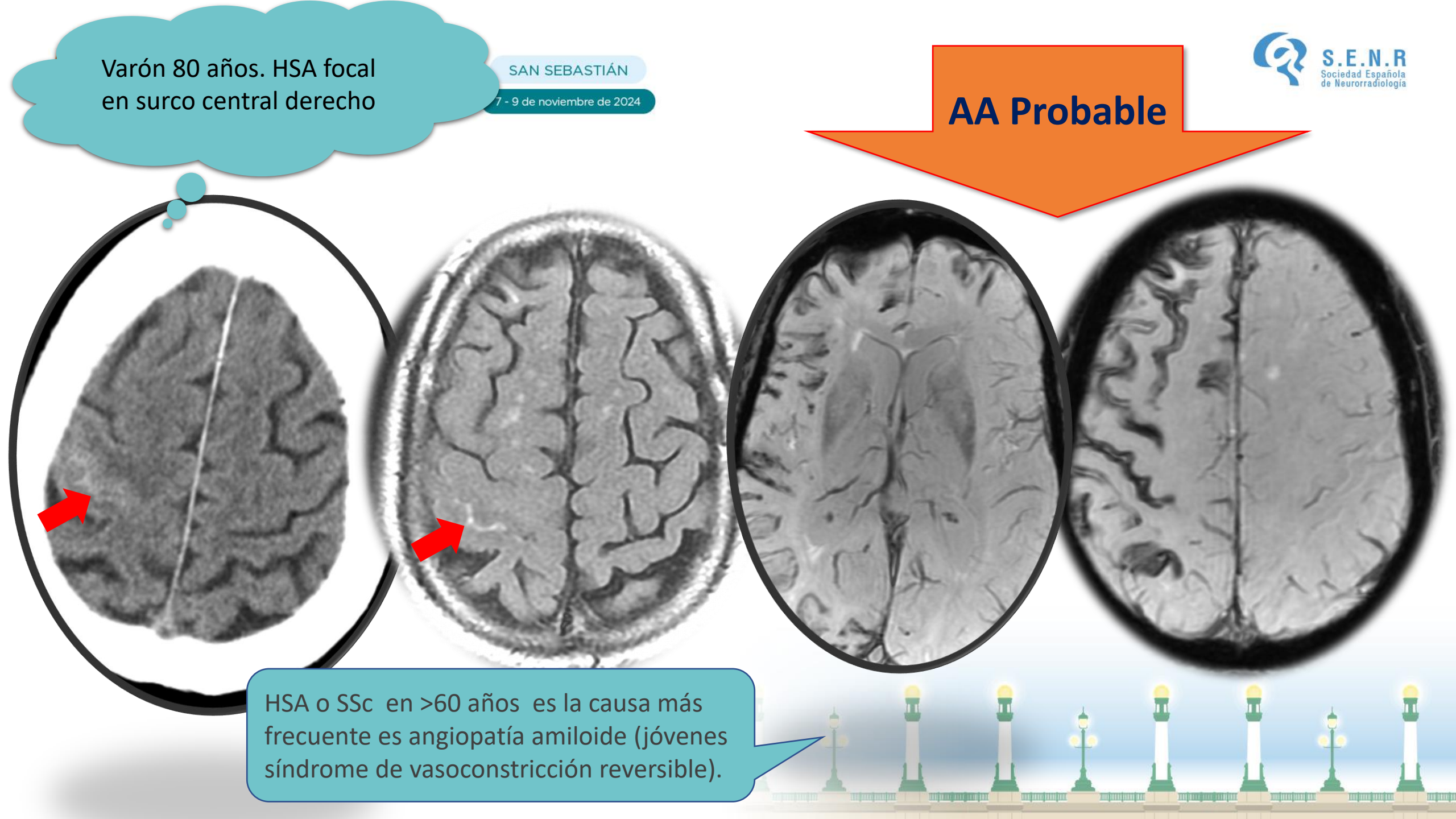
Siderosis Cortical Superficial (SSc)

- Producida por vasos frágiles por deposito de amiloide que se rompen y ocasionan HSA que en fase aguda se identifican en TC e hiperintensas en FLAIR.
- En fase subaguda y crónica los productos de degradación de la sangre(macrófagos con hemosiderina) se depositan en las capas superficiales del cortex y en región subpial.
- Imagen bilineal hipointensa rodeando uno o varios surcos.
- cSS generalmente va unida a microhemorragias lobares.

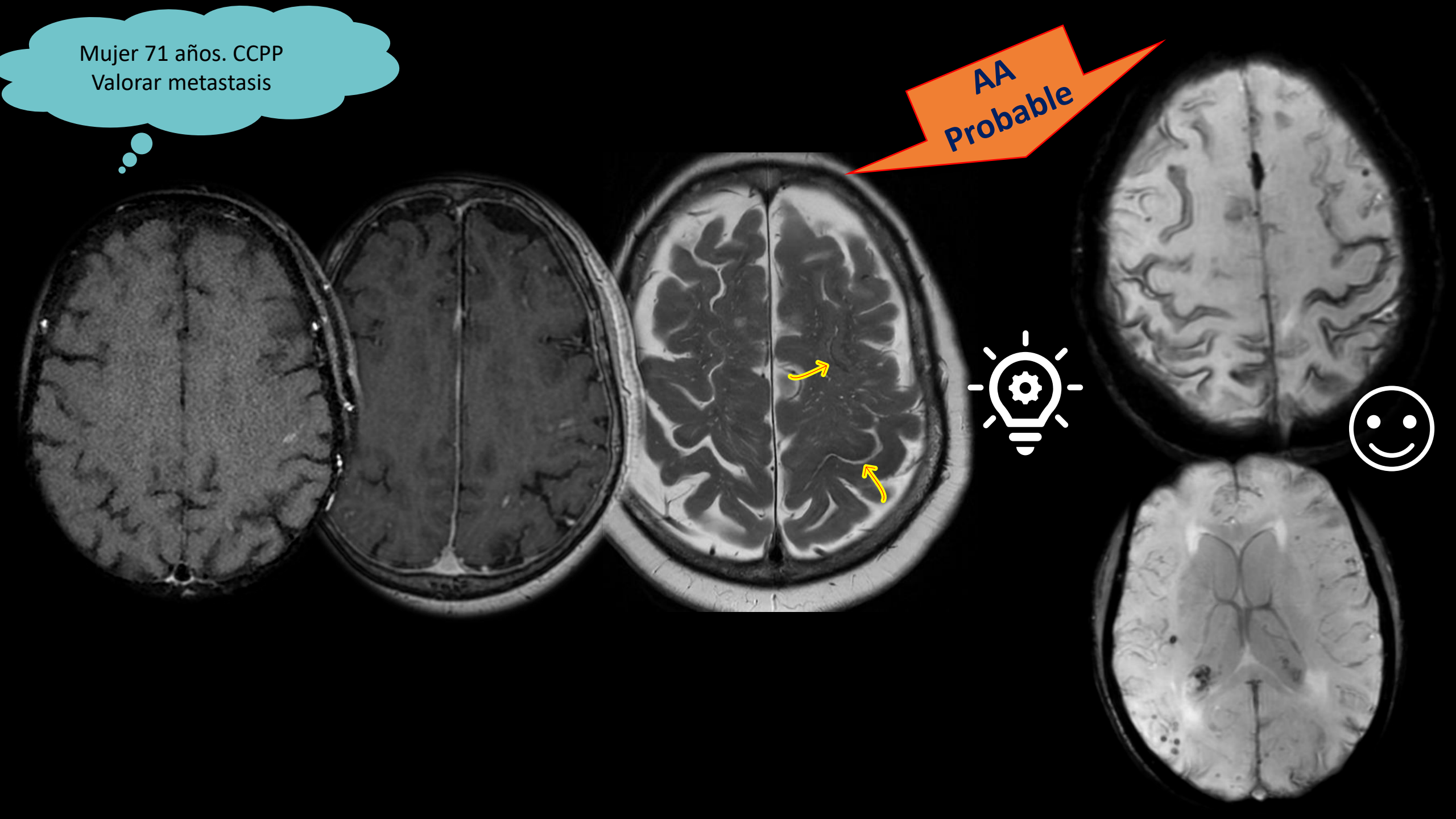


Asocia riesgo de hemorragias lobares (19% anual).





Mujer 77 años. AIT de repetición con hipodensidad prerrolándica y **AA Probable** parietal izquierdas. Valorar ictus FLAIR DWI



Angiopatia amiloide cerebral asociada a inflamación.

(AAC-AI)





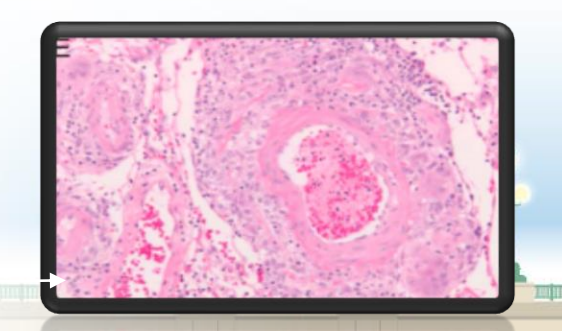
Sintomas agudos o subagudos: cefalea, disminución conciencia, alteración de comportamiento, síntomas neurológicos focales o crisis.

- Edad> 40 años.
- Datos de CAA previos como hemorragias antiguas o cSS
 - RM con lesiones hiperintensas parcheadas/confluentes (T2 o FLAIR)
 - Generalmente asimétricas
 - Con o sin efecto de masa
 - Con o sin captación leptomeningea o cortical
 - Microhemorragias
 - Raro: Siderosis superficial o hemorragias

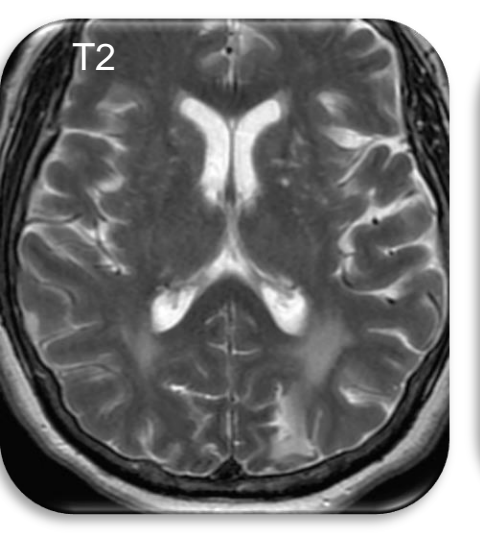
CAA-RI Definitiva

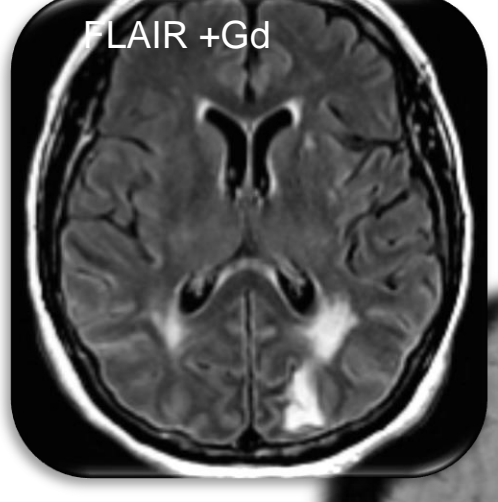
Todos los criterios previos mas confirmación histológica con

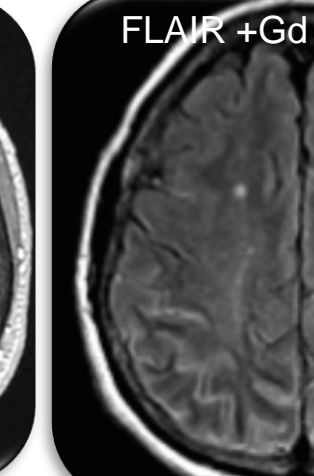
- Inflamación perivascular o intramural.
- Depósitos de amiloide en los vasos corticales

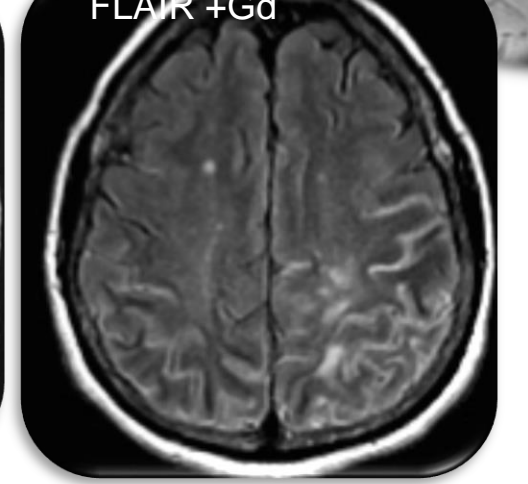




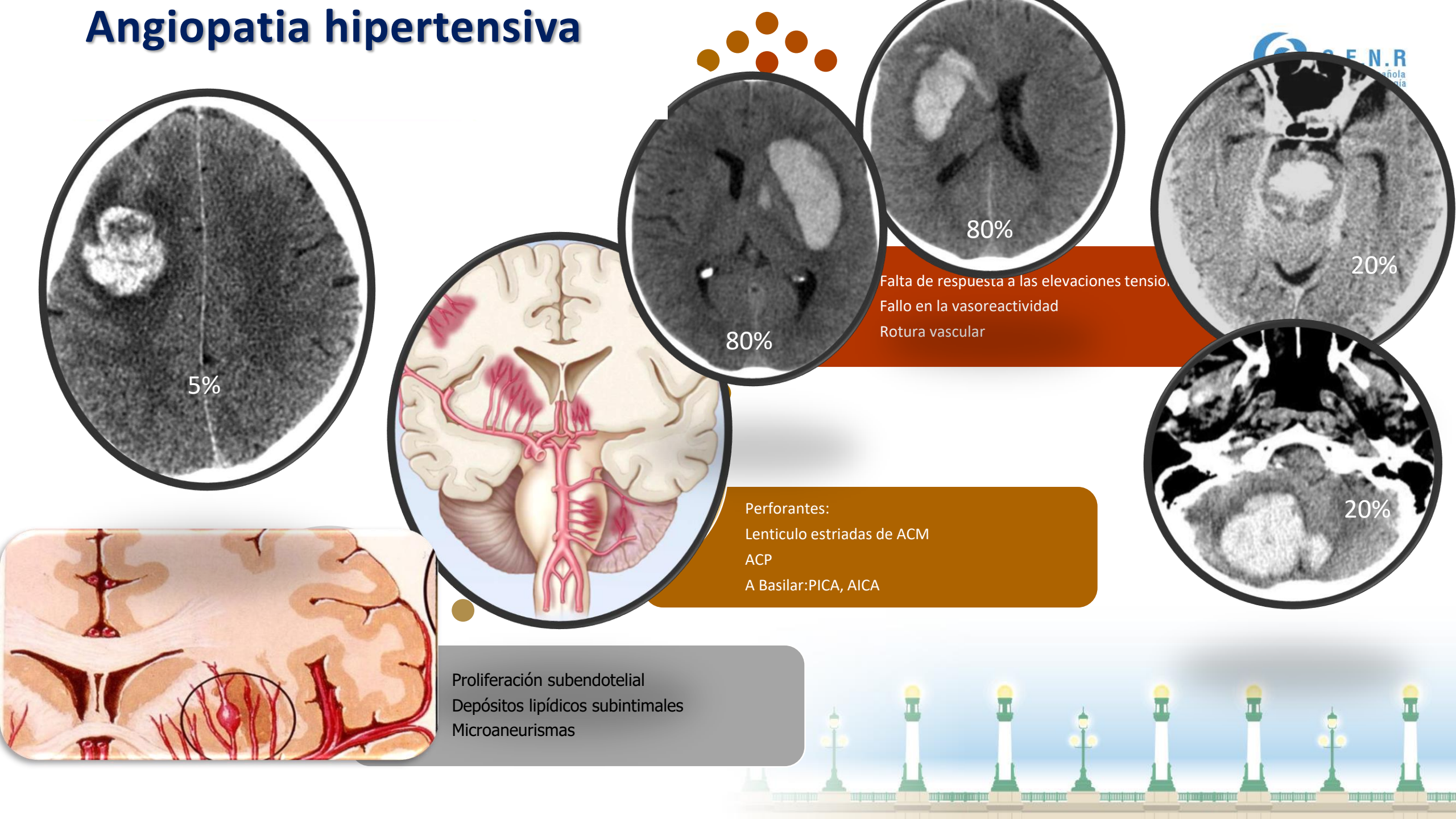






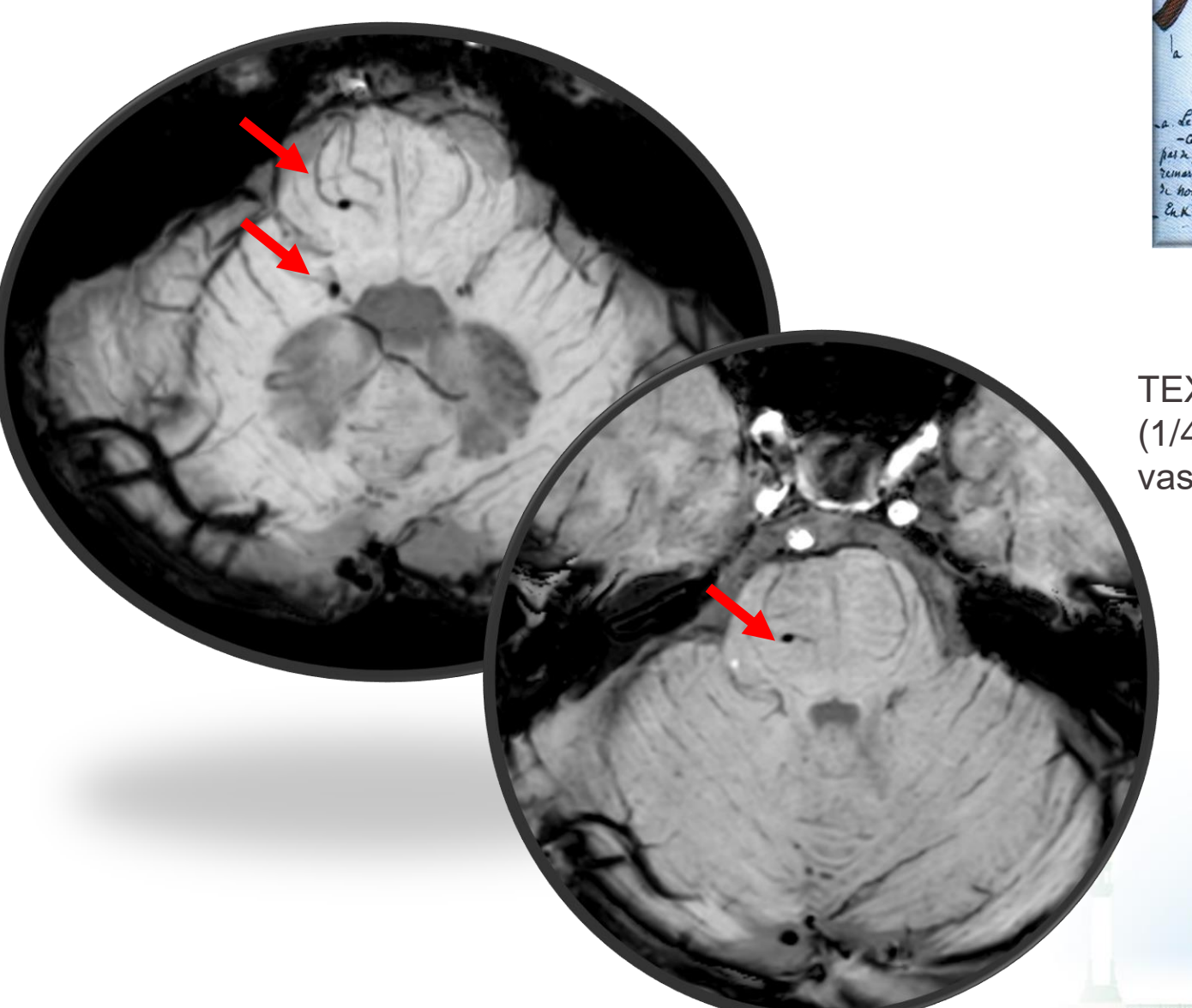


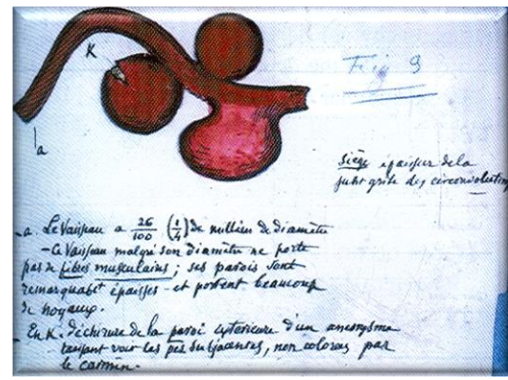
Responden a corticoides e inmunosupresores



SAN SEBASTIÁN

7 - 9 de noviembre de 2024

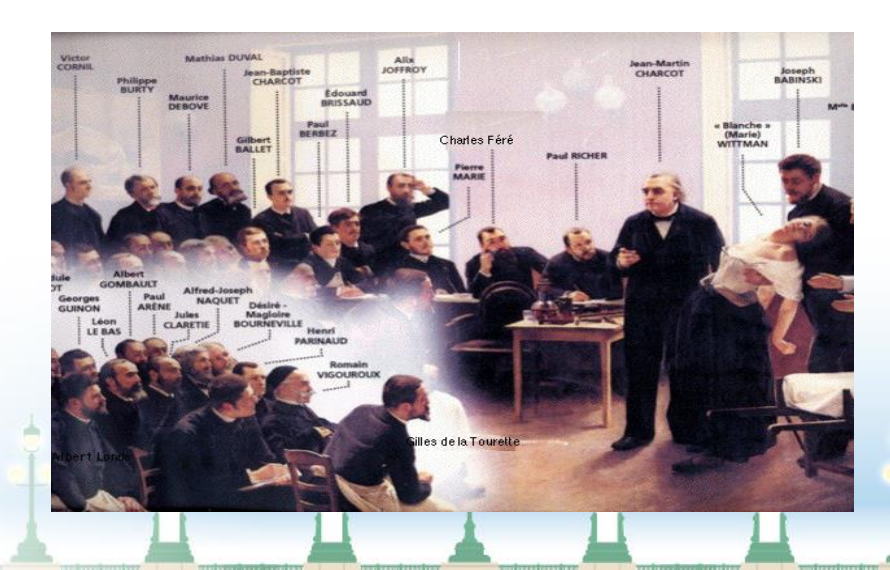


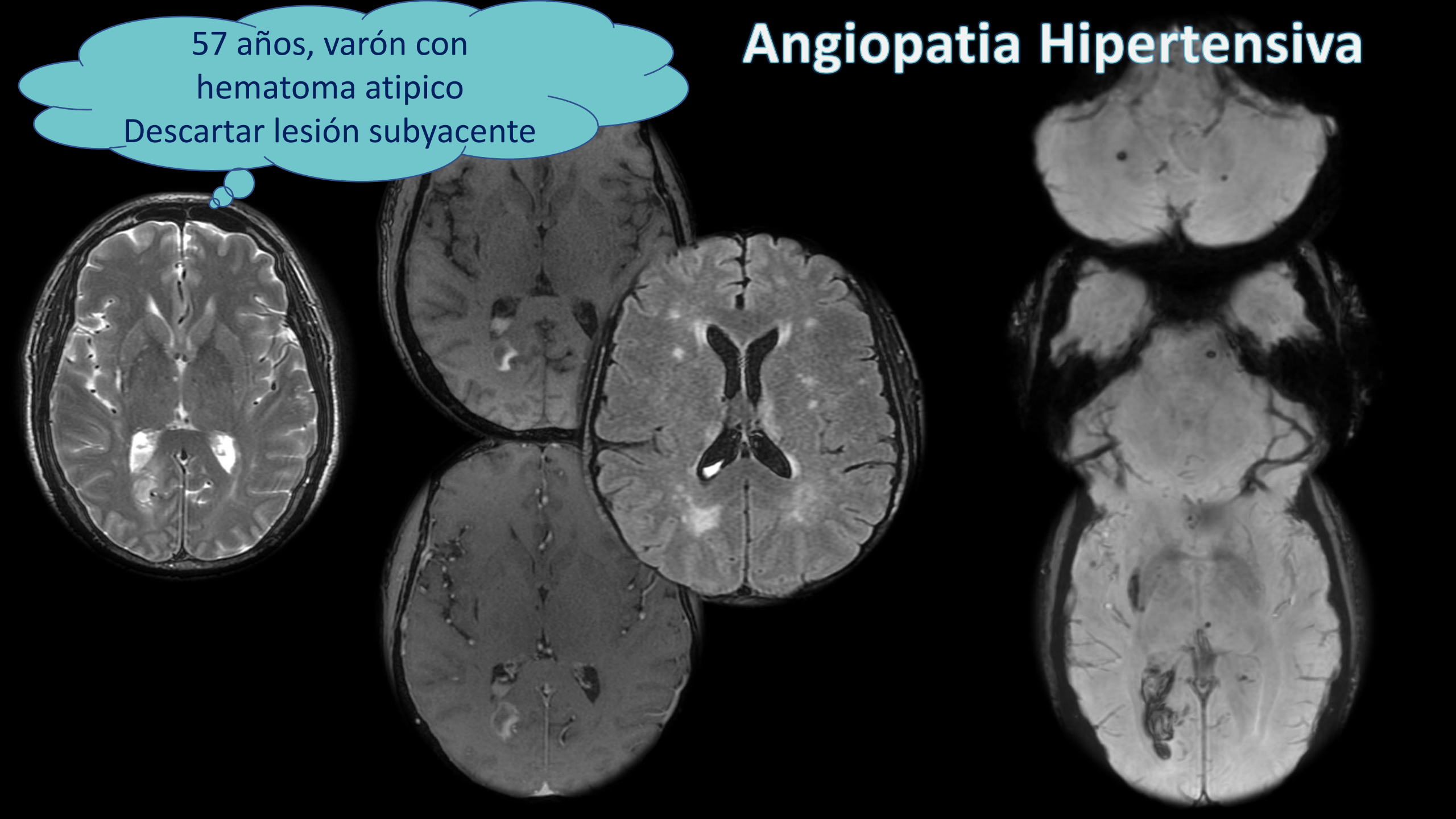




Jean Marie Charcot

TEXTO: "Localización sustancia gris. El vaso es de 26/100 (1/4)mm de diámetro. A pesar de su tamaño la pared del vaso carece de capa muscular y está engrosado".

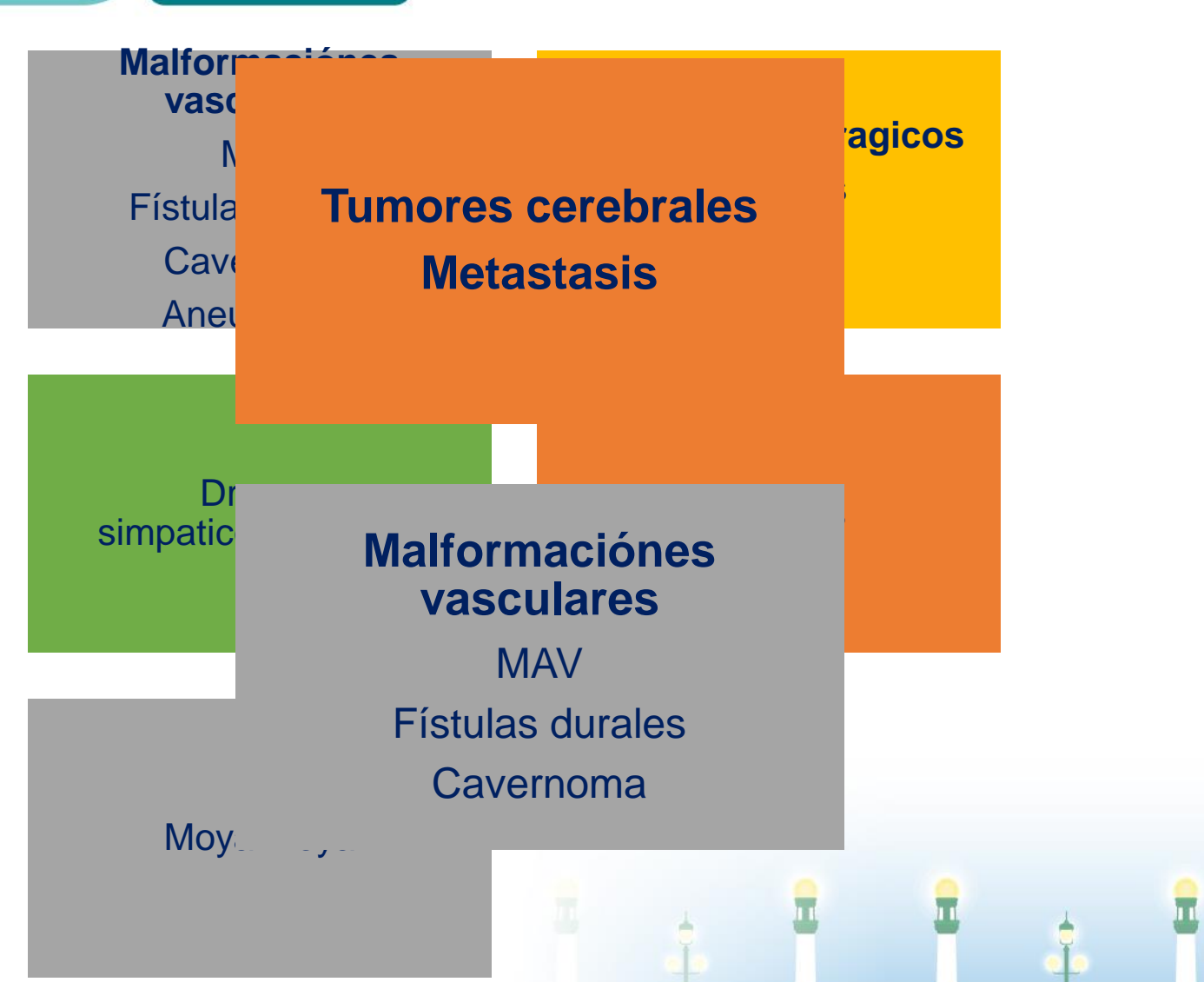




7 - 9 de noviembre de 2024

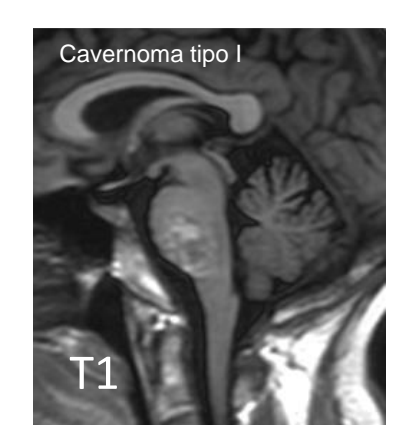
Tumores cerebrales Metastasis

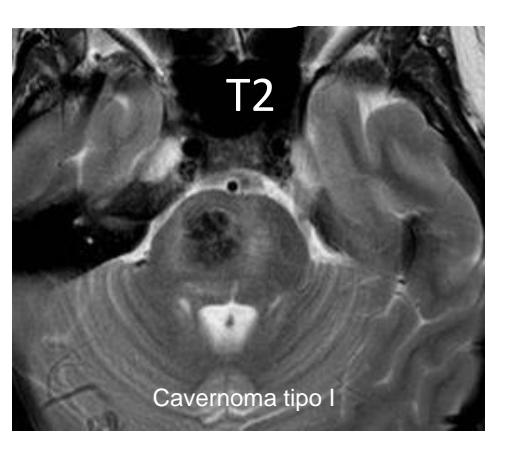
Coagulopatias:

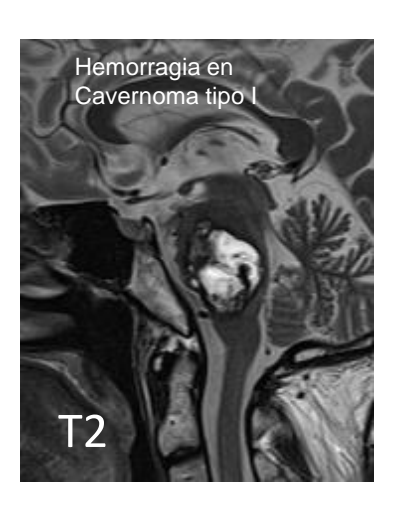


Malformaciones cavernosas













Hemorragia en cavernoma tipo I en tronco

Tipos de cavernomas y riesgo de hemorragias Tipo I:

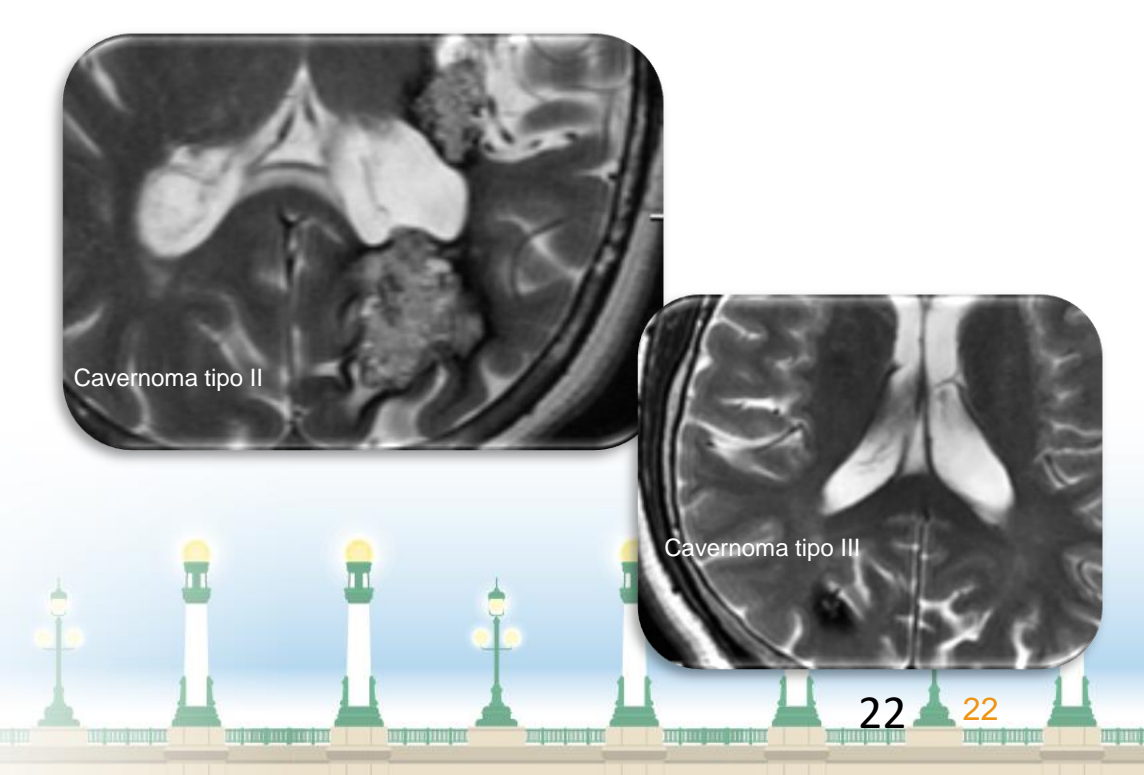
Hemorragia aguda o subaguda, hiperintenso en T1. Riesgo de sangrado 10%.

Tipo II:

Trombosis: "palomitas de maíz". Riesgo de sangrado 5%.

Tipo III:

Hemorragia antígua. Hipointenso en T1 y T2. Riesgo de sangrado 1,5%.

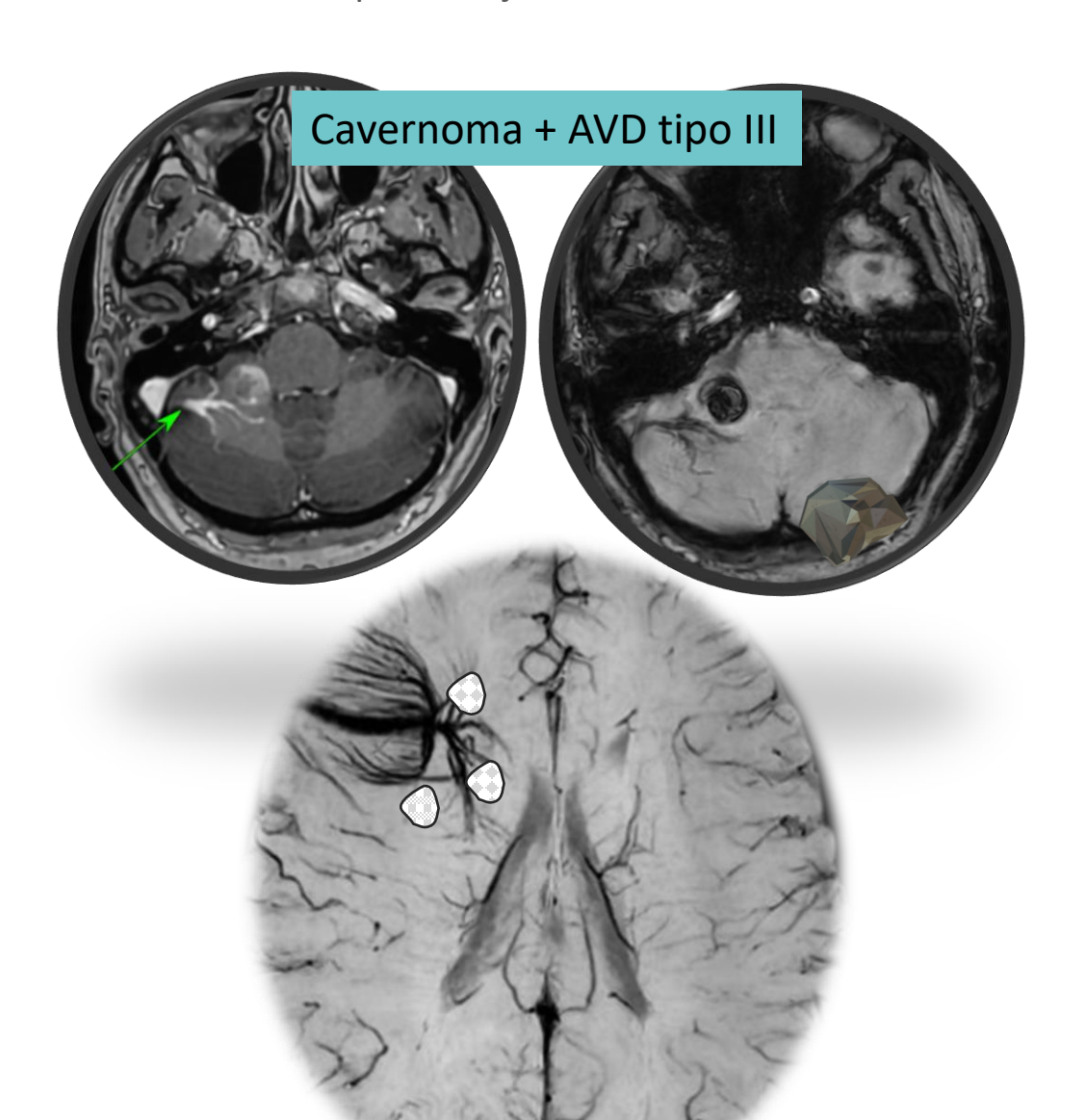


Cavernoma: riesgo de hemorragia



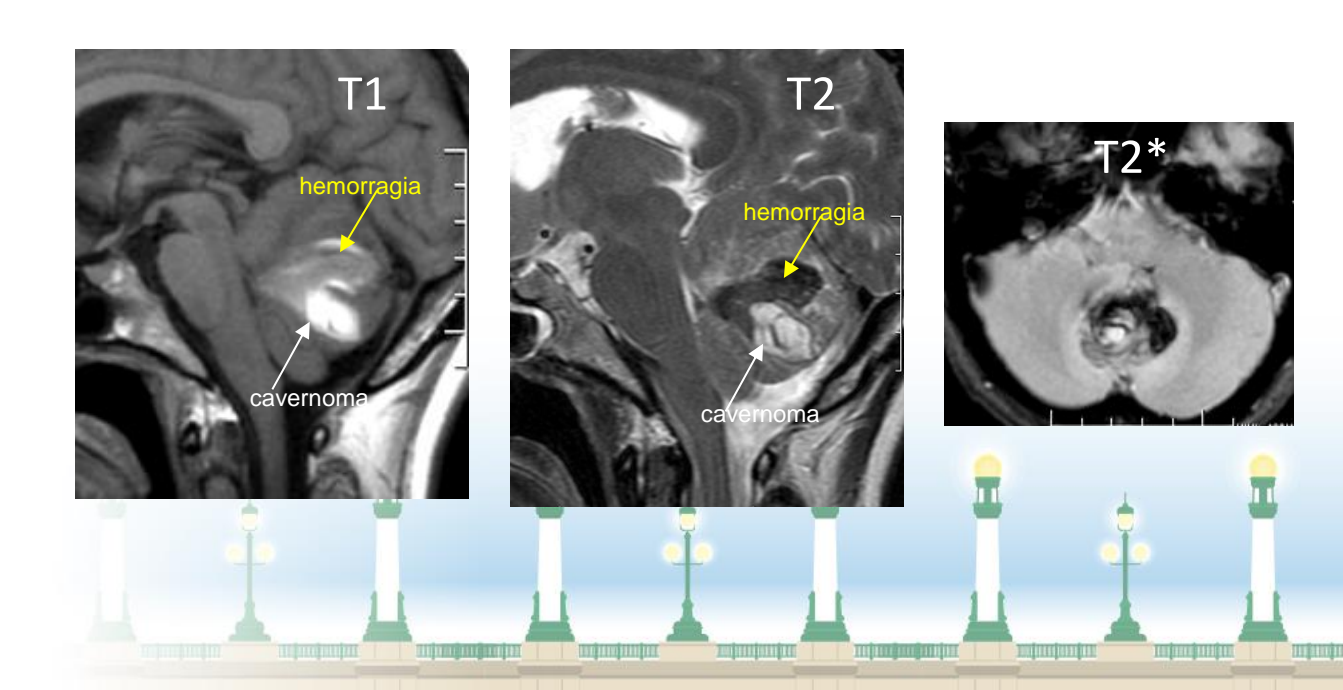
Hemorragia: es la forma de presentación en el 8-37%.

En los niños este porcentaje aumenta: 36-60% de los casos.



Mayor riesgo de hemorragia.

- 1. Localización en fosa posterior el tronco (2.5%).
- 2. Sangrado previo especialmente (tronco)
- 3. Múltiples.
- 4. >10 mm.
- 5. Unidos a anomalias venosas del desarrollo: TIPO III No son sangrado extensos ni originan grandes déficits.

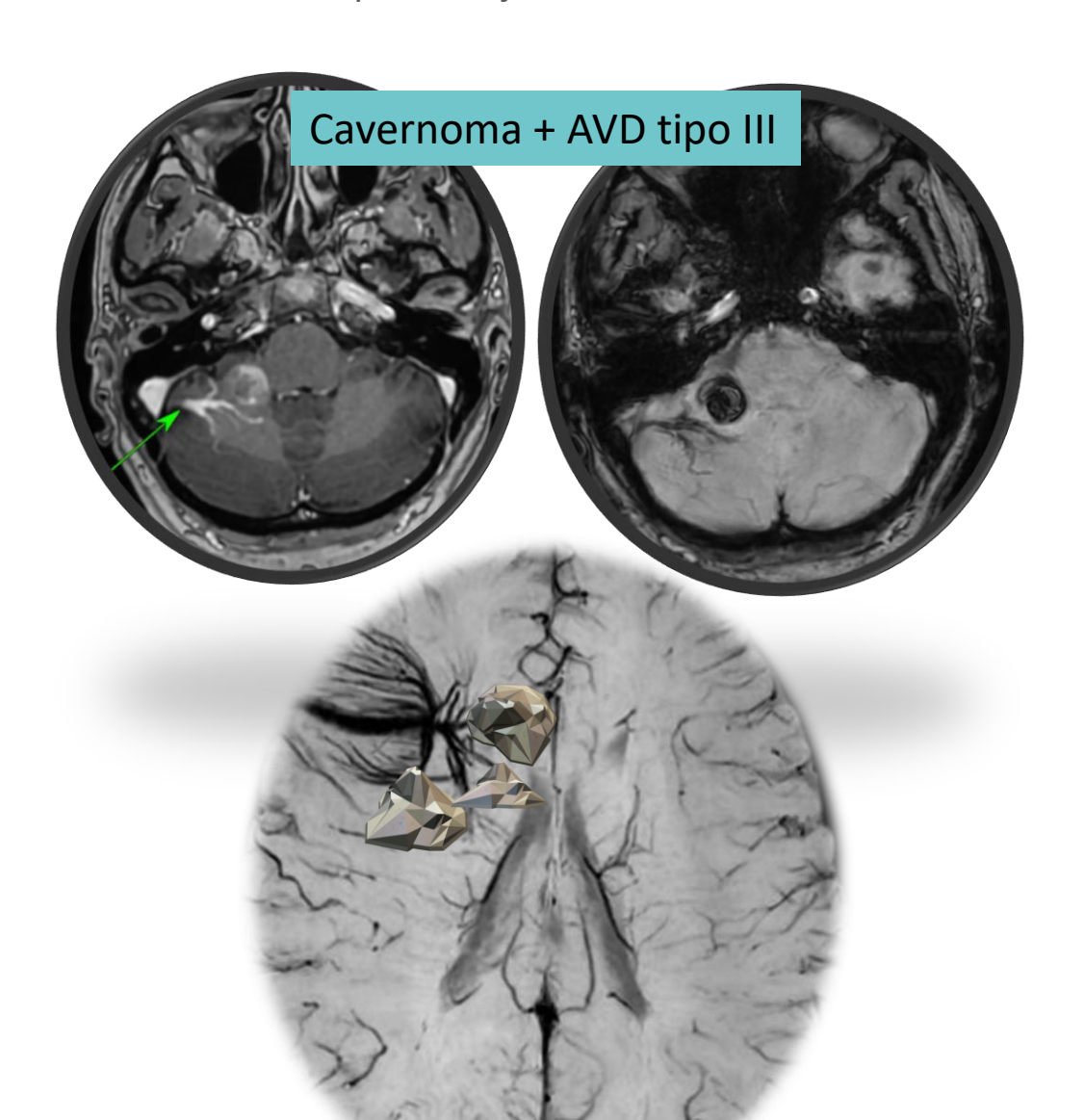


Cavernoma: riesgo de hemorragia



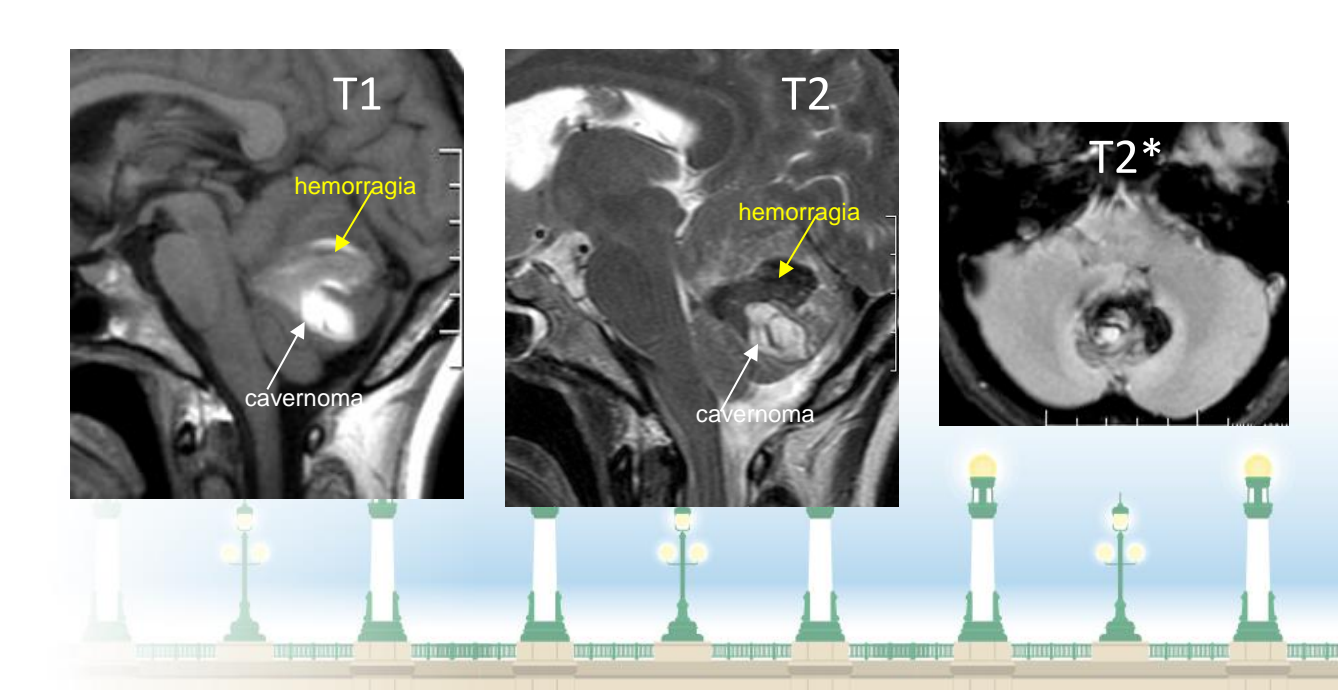
Hemorragia: es la forma de presentación en el 8-37%.

En los niños este porcentaje aumenta: 36-60% de los casos.



Mayor riesgo de hemorragia.

- 1. Localización en fosa posterior el tronco (2.5%).
- 2. Sangrado previo especialmente (tronco)
- 3. Múltiples.
- 4. >10 mm.
- 5. Unidos a anomalias venosas del desarrollo: TIPO III No son sangrado extensos ni originan grandes déficits.



¿Como sabemos que es existe un cavernoma causante del sangrado?



Cavernoma hemorragico

Imagen de doble esfera (Huevo frito)

Escaso edema

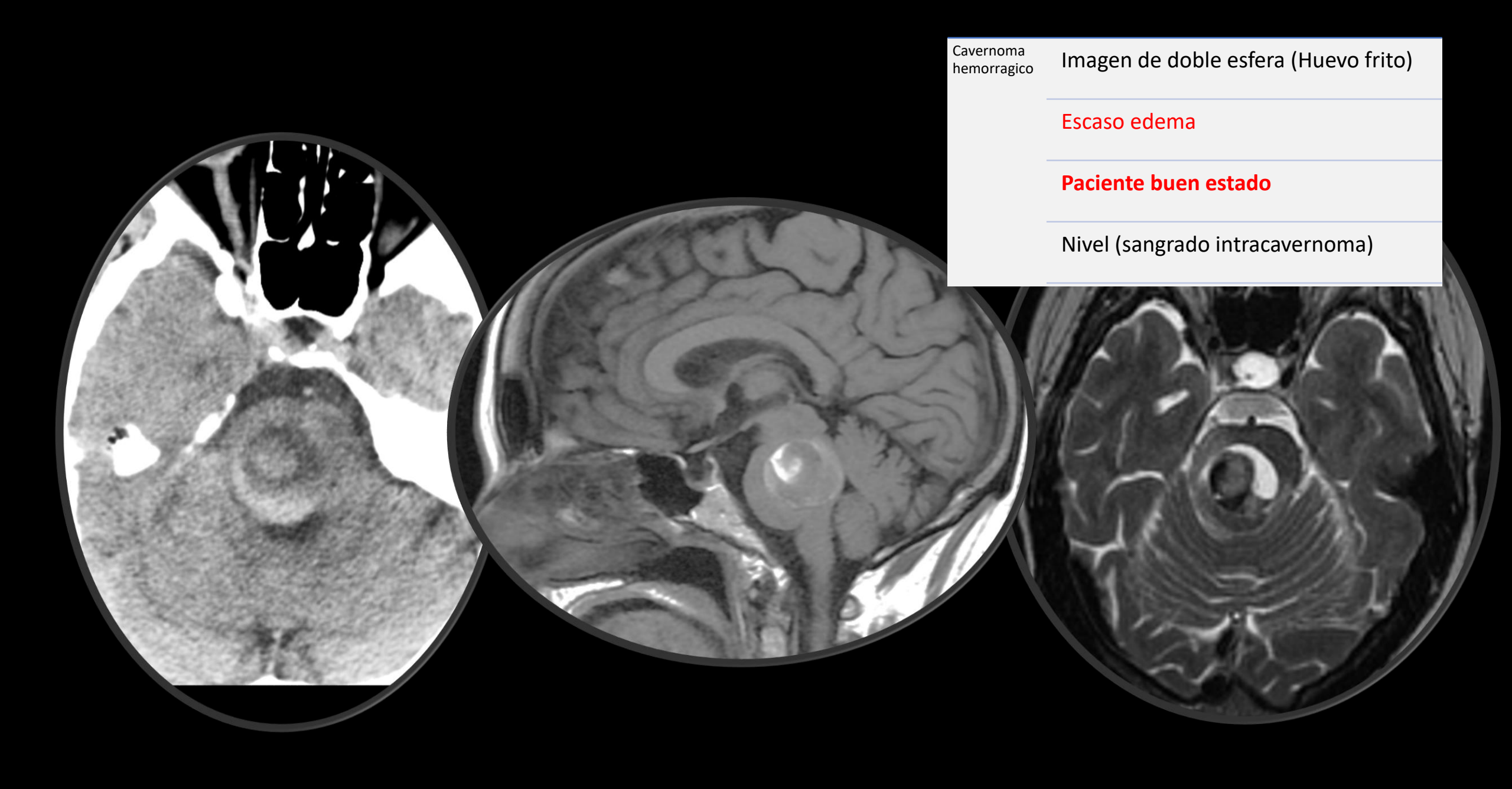
Paciente buen estado

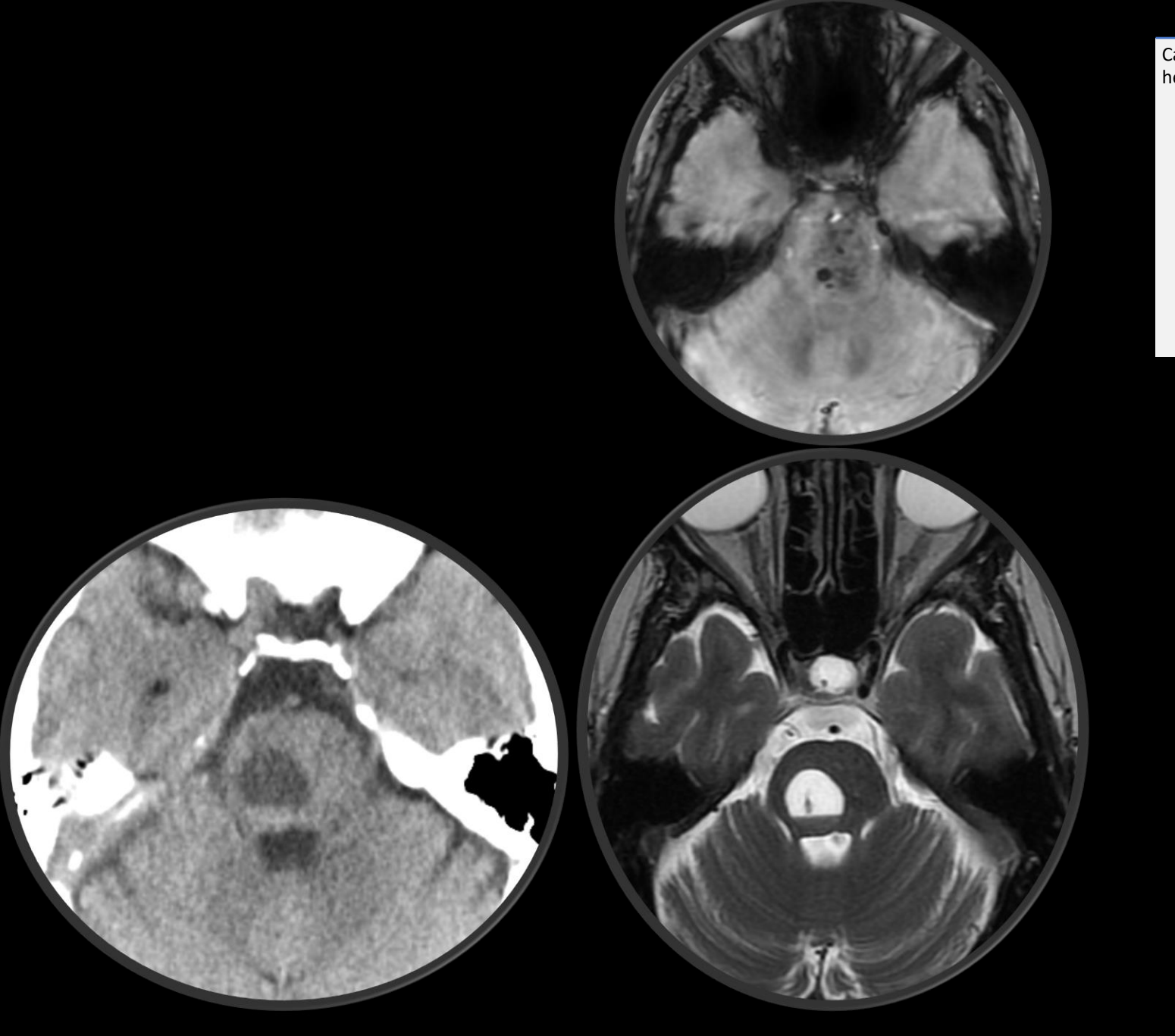
Nivel (sangrado intracavernoma)









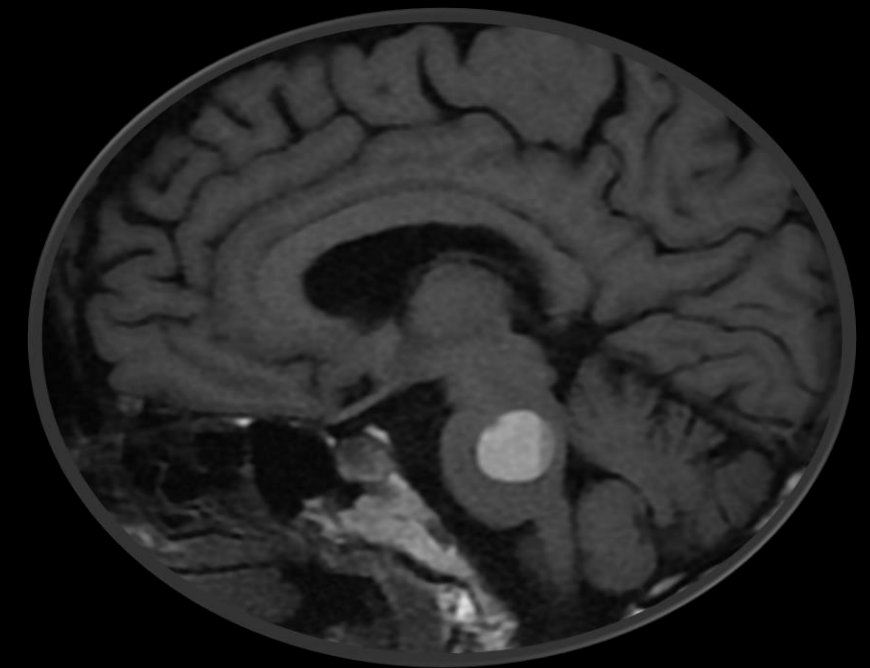


Cavernoma hemorragico Imagen de doble esfera (Huevo frito)

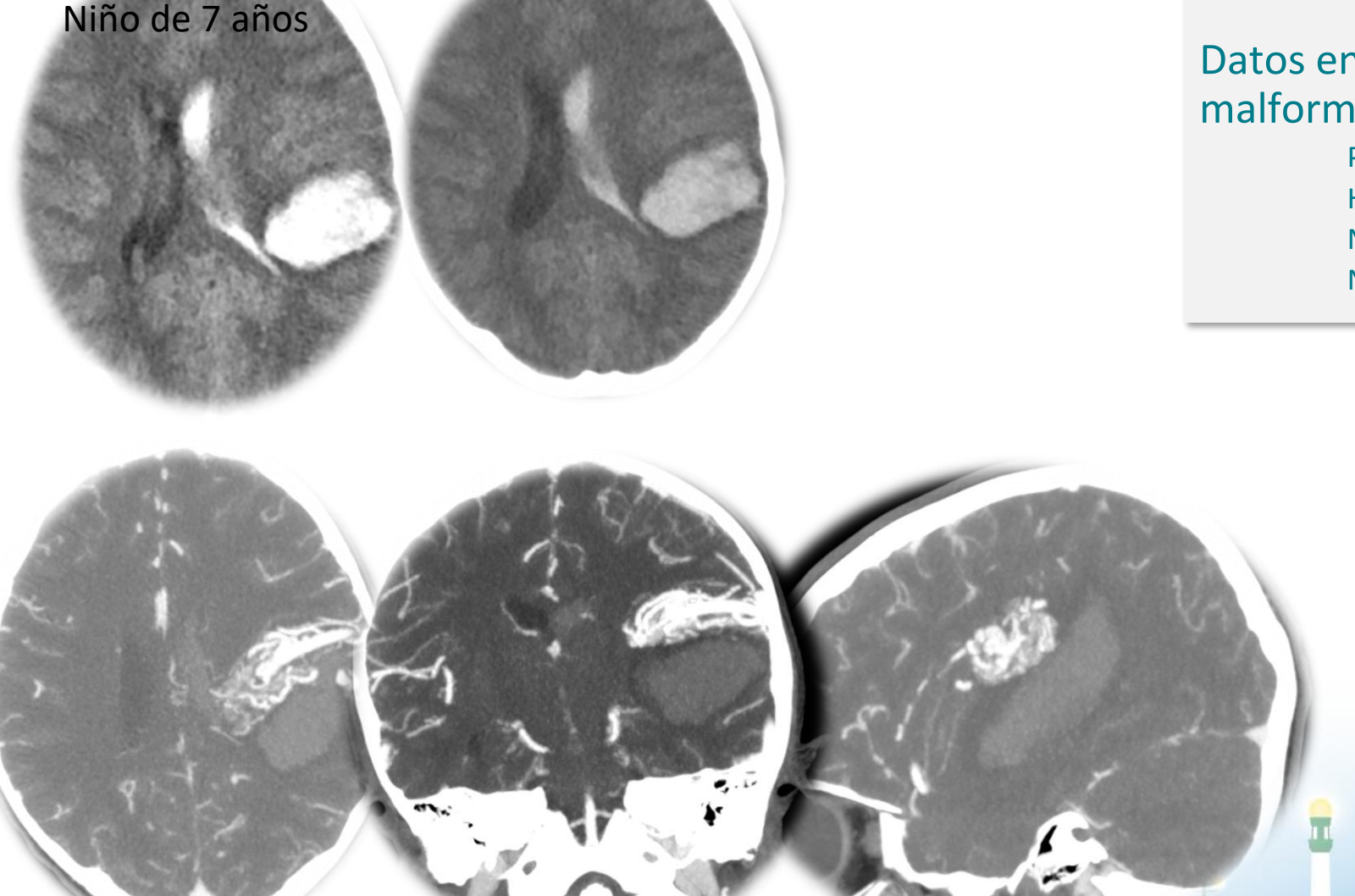
Escaso edema

Paciente buen estado

Nivel (sangrado intracavernoma)



Hemorragia causada Malformaciones arterio venosas



HIC Espontánea en menores de 40 años el 70% causada por malformaciones vasculares.

Malformaciones arterio-venosas.

Fístulas durales.

Cavernomas.

Datos en RM que sugieren HIC por malformación vascular

Paciente joven < 45 años

Hematoma regular.

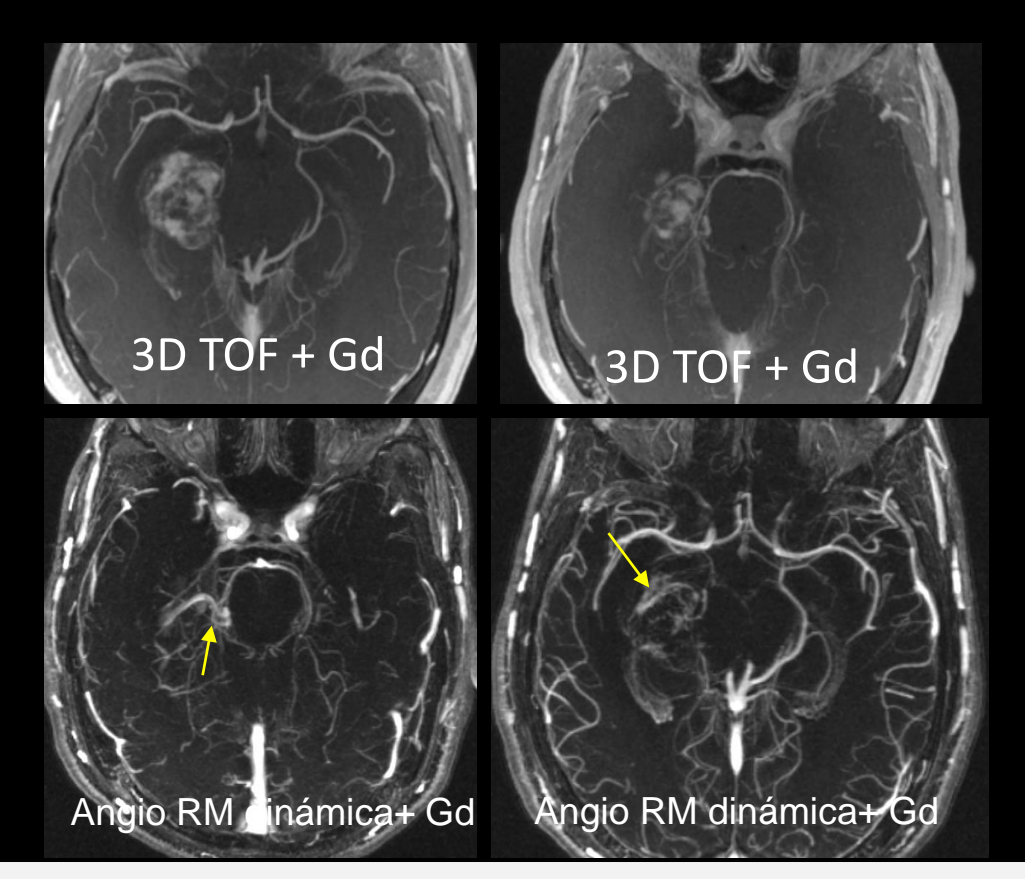
No HTA

No coagulopatias

Factores de riesgo de HIC en MAV

- 1. Hemorragia previa
- 2. Aneurismas intranidales
- 3. Estenosis drenaje venoso
- 4. Drenaje venoso profundo.
- 5. Vena drenaje única.
- 6. Localización FP o profunda

Datos técnicos de la RM en la HIC Secundaria a MAV



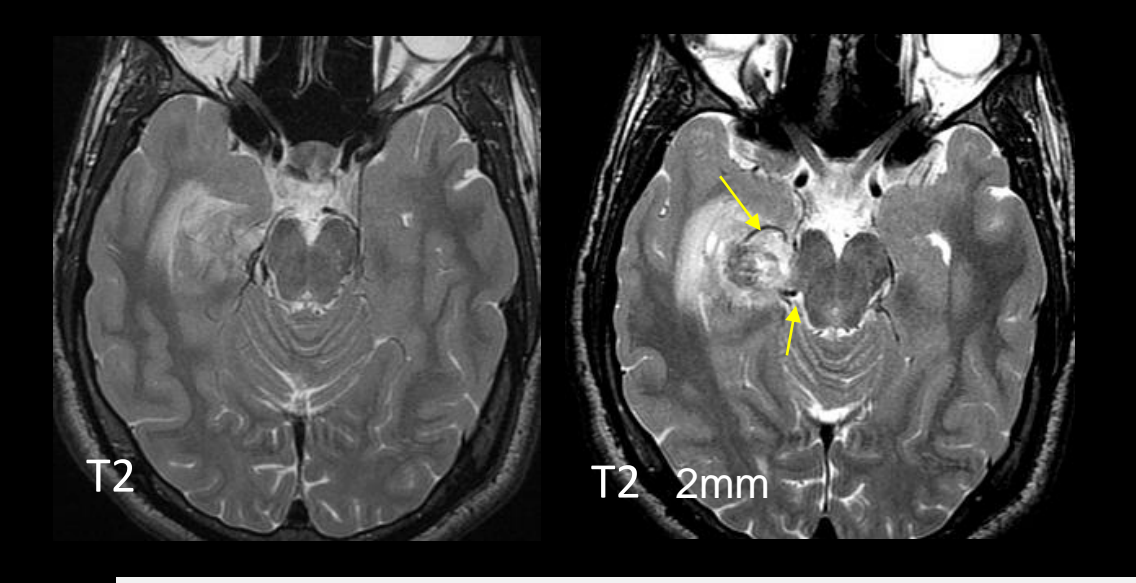
Realizar RM dinámica con contraste

Secuencias 3D TOF con contraste dan problemas:

Es una secuencia con potenciación T1

Se superpone la hiperintensidad del hematoma.

Se superpone las captaciones de contraste RM angio dinámica suprime el tejido estacionario y no vemos el hematoma ni captaciones patológica de contraste porque es una secuencia muy rápida.

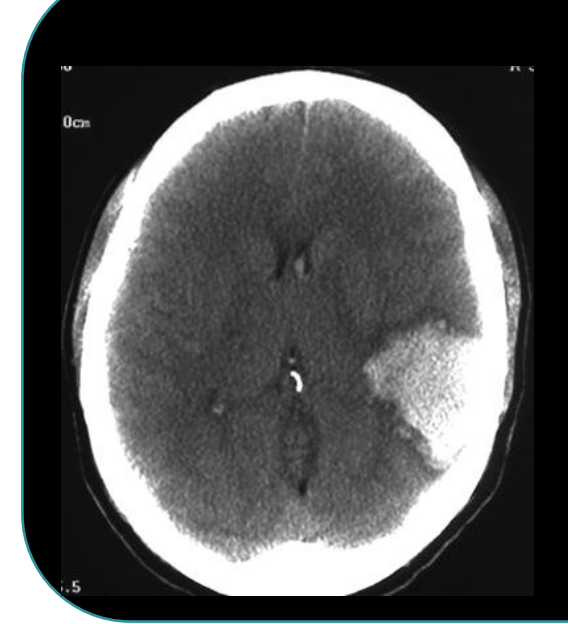


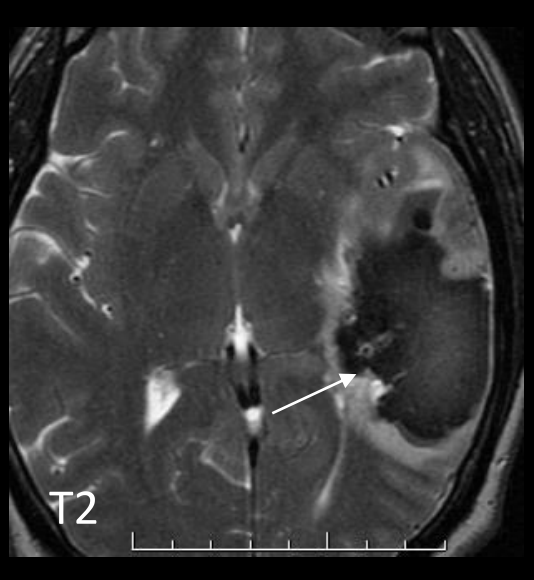
Obtener Secuencias potenciadas en T2

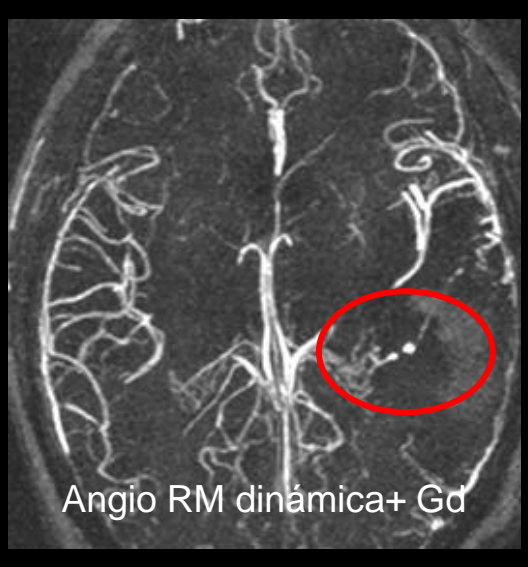
Alta resolución y grosor de corte 2-3mm. Identifica fácilmente los vasos patológicos. La MAV se sitúa en los bordes del hematoma. Puede ser MAV con componente fístuloso (no nidus)

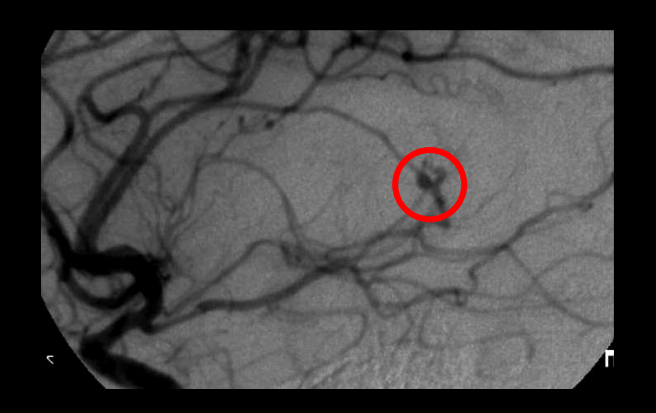
Hemorragia causada por MAV







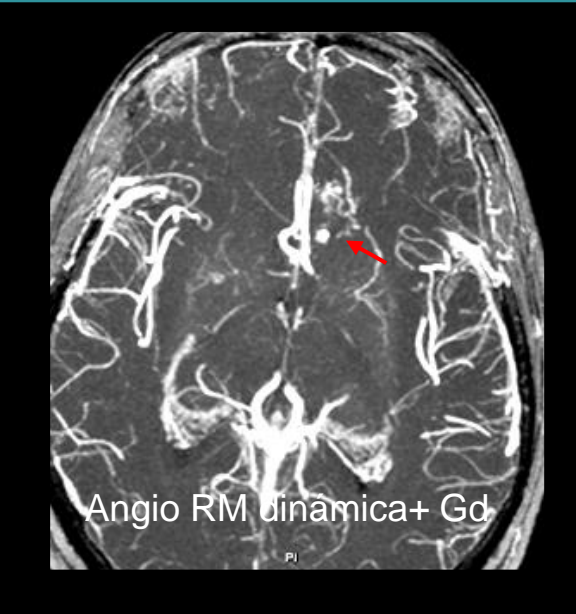


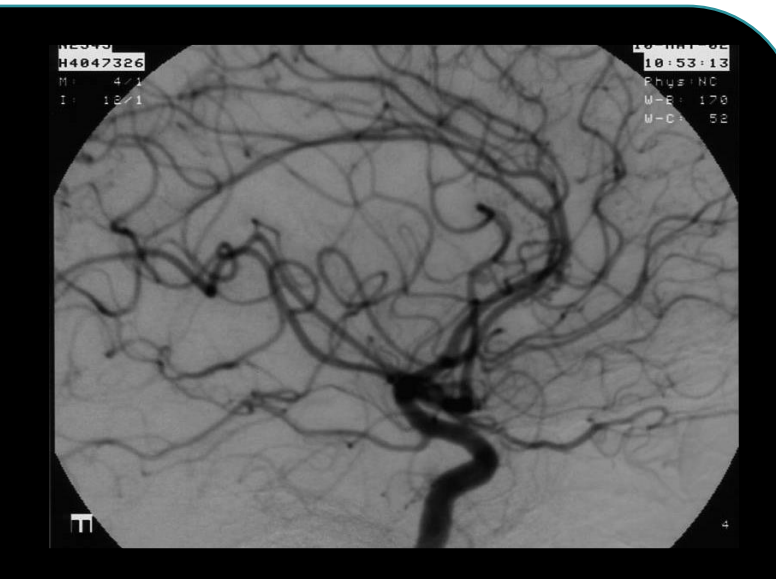


Micro MAV con componente fistuloso

Micro MAV con microaneurisma







Hemorragia Causada por Fístulas Durales

Hemorragia: es la forma de presentación en el 23% .. SWI muy útil para mostrar la hemodinámica venosa:

- ✓ Venas dilatadas refleja congestión venosa
- ✓ Señal hiperintensa en las venas refleja drenaje retrogrado cortical venoso y ayuda en la localización de la fístula.
- ✓ Riesgo de hemorragia:
 - ✓ Hipointensidad en SWI.
 - ✓ Edema y microhemorragias

Localizaciones de riesgo en fístulas durales:

Tentorio

Fronto-basal

Foramen Magno

Convexidad

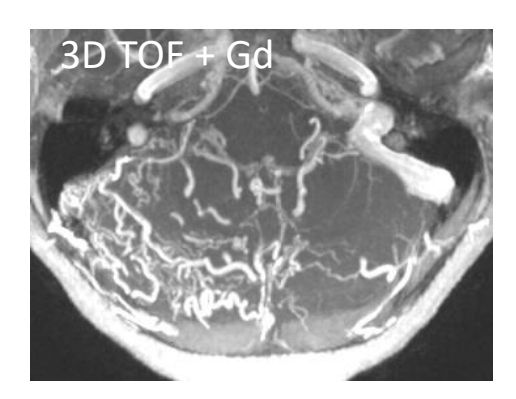
Factores de riesgo: (Mayor grado en clasificación de Borden) :

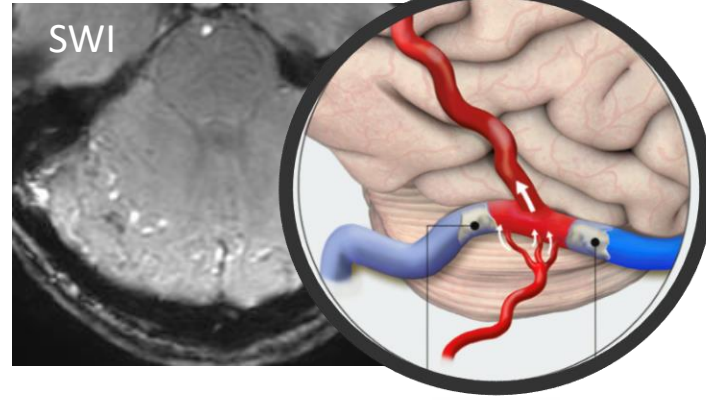
Tipo I : Drena en seno dural o vena meníngea.

Tipo II: Drenaje retrogrado a venas subaracnoideas.

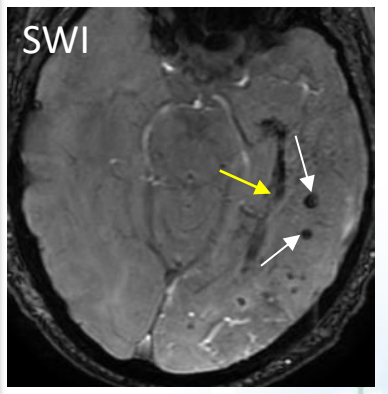
Tipo III: Drenaje directo a venas subaracnoideas.

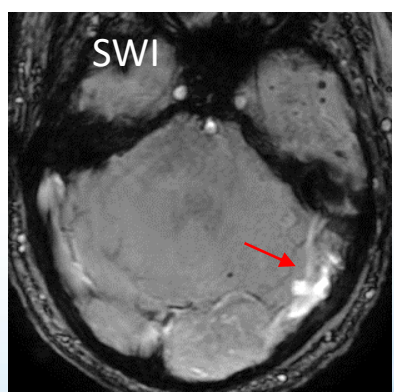
Fistula a seno transverso derecho que tiene oclusión distal y proximal (segmento de seno excluido). Existe reflujo a venas corticales cerebelosas que aparecenciedad Española hiperintensas en SWAN. Fístula dural grado II de Borden.

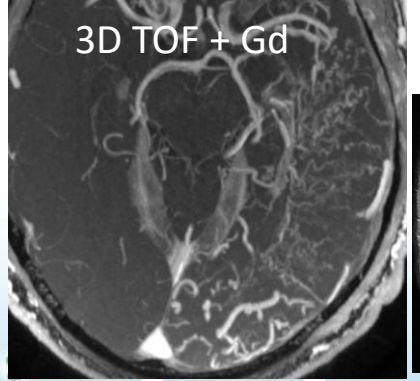


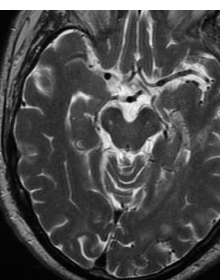


Hemorragia intraventricular producida por fístula dural Tipo II de Borden. Fistula en el seno lateral izquierdo (hiperintensidad de señal en SWI). Múltiples venas subaracnoideas dilatadas en lóbulos occipital y temporal izquierdo. Múltiples microhemorragias en cerebelo y hemisferio cerebral izquierdos. Escasa traducción en secuencias potenciadas en T2











The "Hypointense Focal Brain" on susceptibilityweighted imaging as a sign of venous congestion in cranial dural arteriovenous fistulas

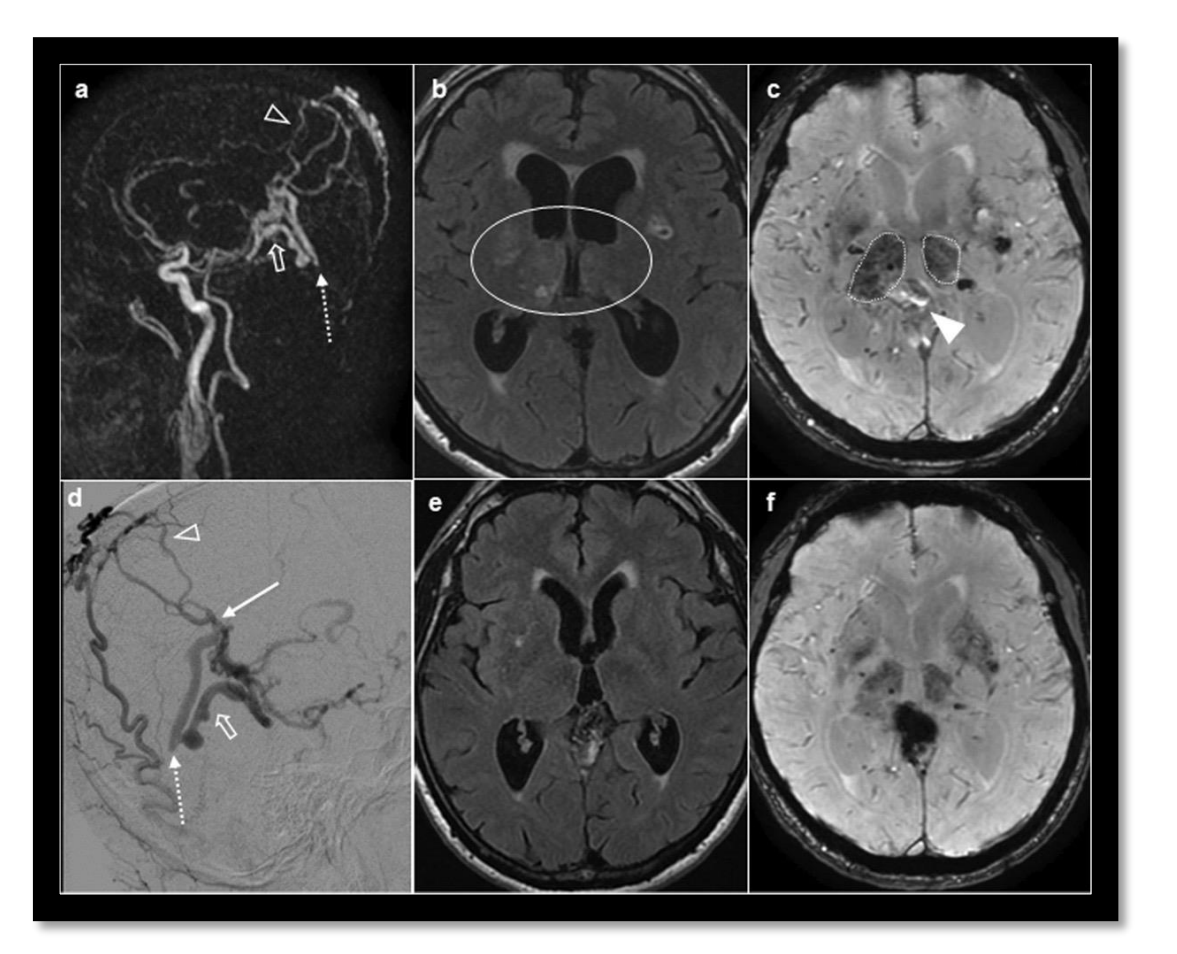
The Neuroradiology Journal 2024, Vol. 0(0) 1-8
© The Author(s) 2024
Article reuse guidelines: sagepub.com/journals-premission DOI: 10.1177/19714009241269522 journals-sagepub.com/home/neu

Sage

SAN SEBASTIÁN

7 - 9 de noviembre de 2024

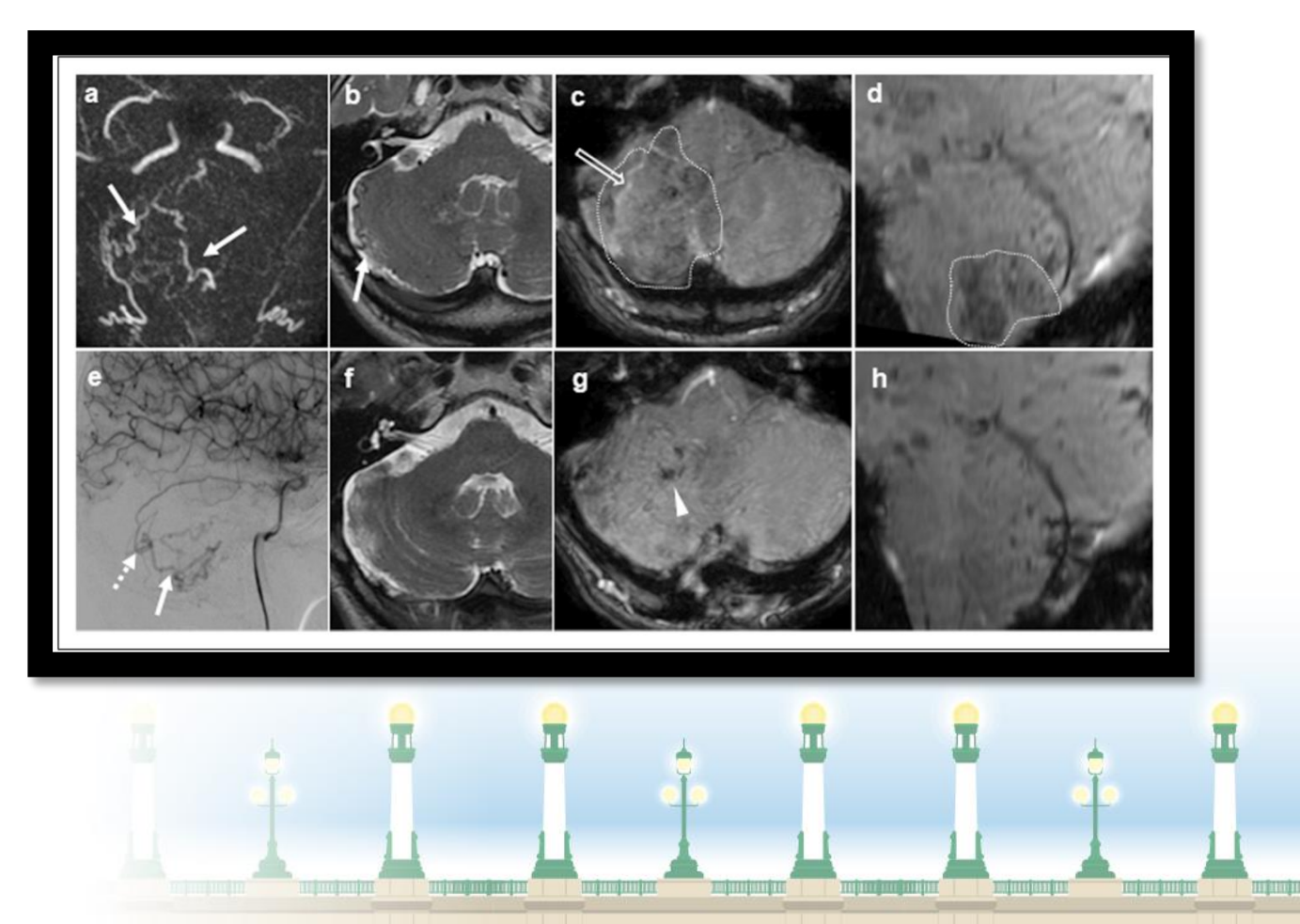
Zhao Hui Chen Zhou , Amaya Hilario, Elena Salvador Álvarez, Agustín María Cárdenas del Carre, Juan Romero Coronado, Carmen Lechuga Vázquez , Ana Martínez de Aragón and Ana Ramos González





A new sign for venous congestion in dAVF

Reversible "hypointense focal brain" sign on SWI in patients with cranial dAVFs and cortical venous retrograde drainage



15% de las metástasis son hemorrágicas.

- Coriocarcinoma
- **Tiroides**
- Riñón
- Melanoma

5% de los tumores primarios del SNC son hemorrágicos

- **GBM**
- Oligodendroglioma
- Ependimoma

Datos en RM que sugieren hemorragia tumoral

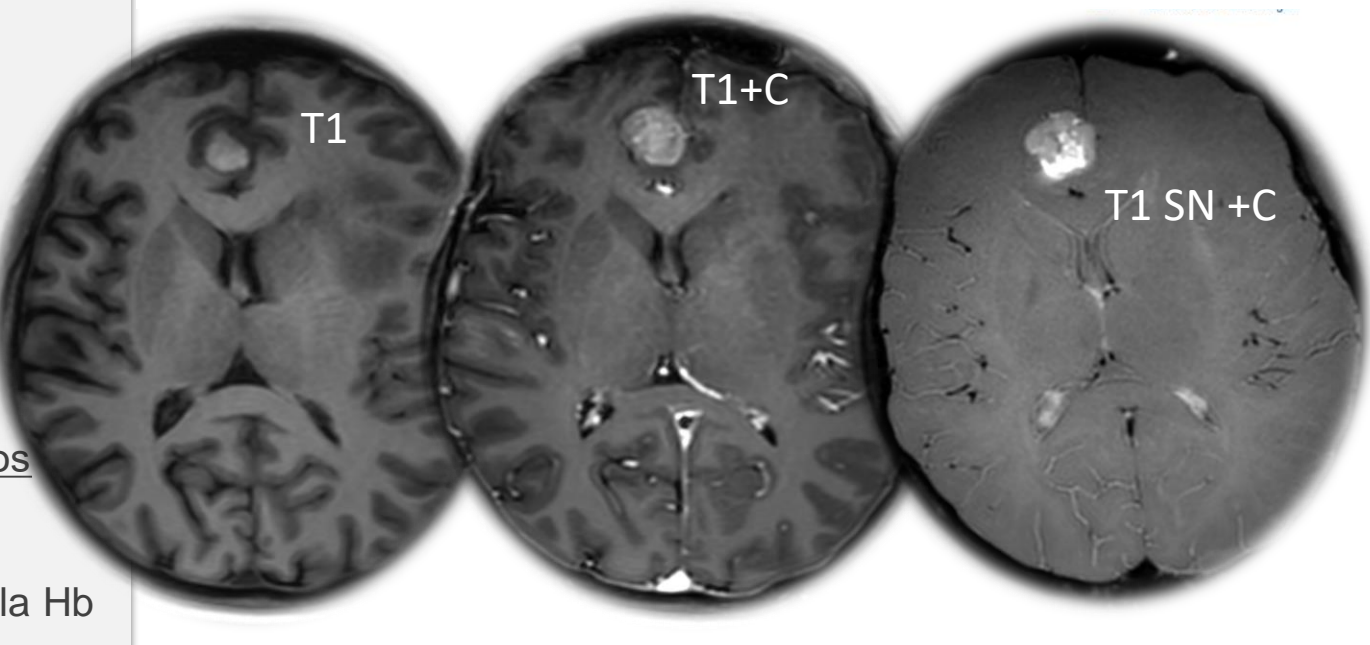
Hemorragias heterogéneas y complejas. Sangre en ≠ estadios

Identificación de te. tumoral no hemorrágico. Captación de contraste

Retraso en la evolución de los productos de degradación de la Hb

Anillo hipointenso de la hemosiderina irregular o ausente

Hemorragia Causada por Tumores





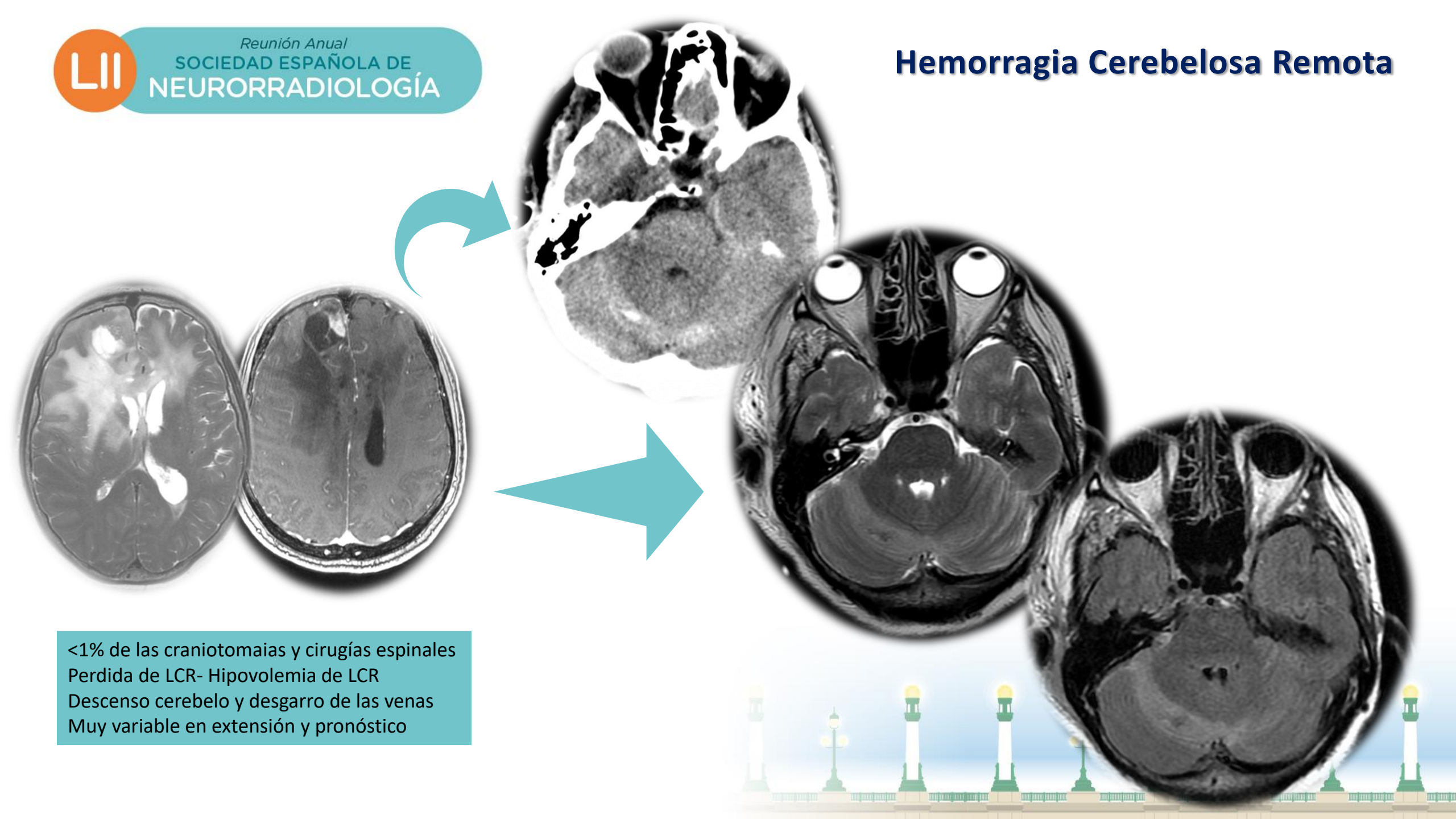






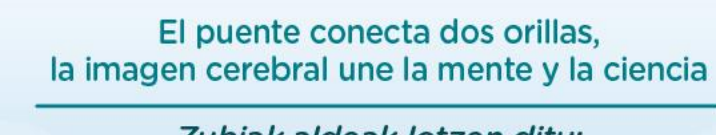
Imagen de la hemorragia cerebral primaria y secundaria

Ana Ramos

Hospital 12 de Octubre, Madrid











SAN SEBASTIÁN

7 - 9 de noviembre de 2024







Seram HIC Secundaria: Tumores.

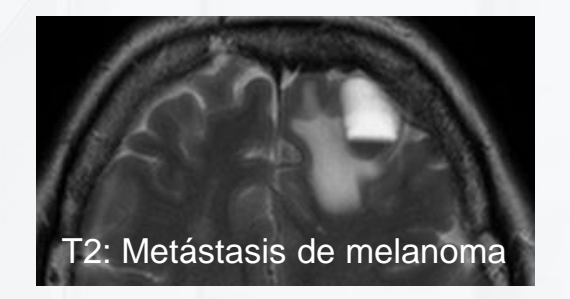
RM EM LA HEMORRAGUACEREBRAL

10% de las HIC secundarias están causadas por tumores malignos

15% de las metástasis son hemorrágicas.

- Coriocarcinoma
- **Tiroides**
- Riñón
- Melanoma

1: Metástasis de melanom



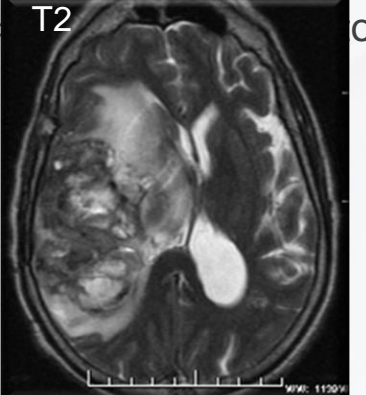
5% de los tumores primarios del SNC son hemorrágicos

- **GBM**
- Oligodendroglioma
- **Ependimoma**

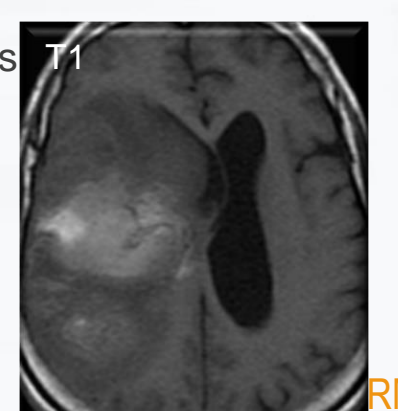
Datos en RM que sugieren hemorragia tumoral

- Hemorragias heterogéneas y complejas. Sangre en ≠ estadios
- Identificación de te. tumoral no hemorrágico. Captación de contraste
- Retraso en la evolución de los productos de degradación de la Hb
- Anillo hipointenso de la hemosiderina irregular o ausente

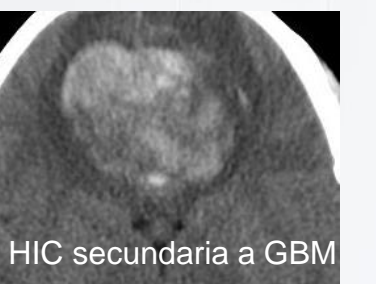


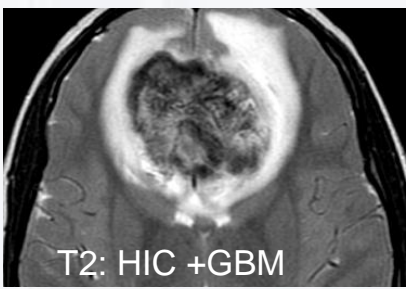


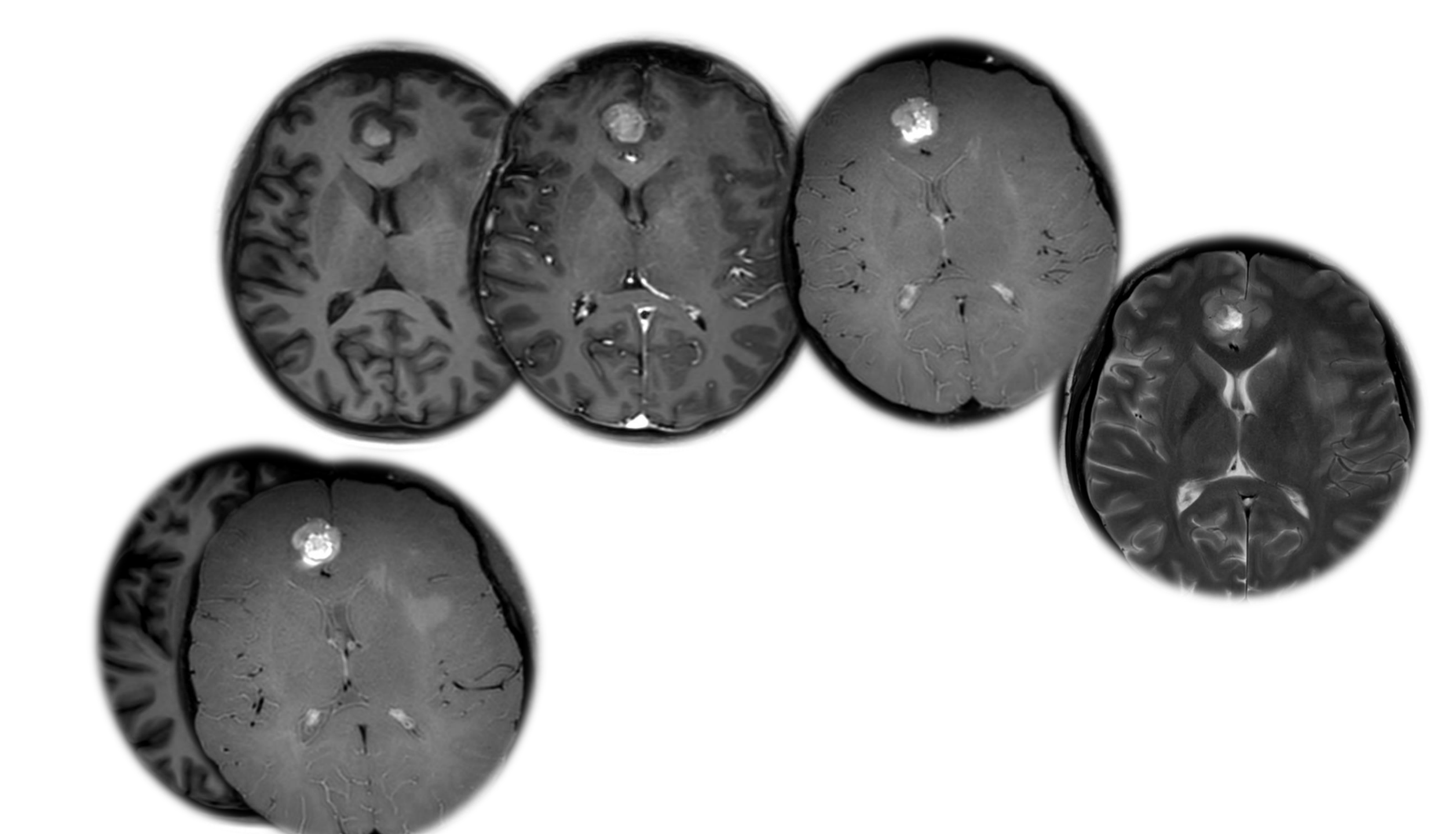




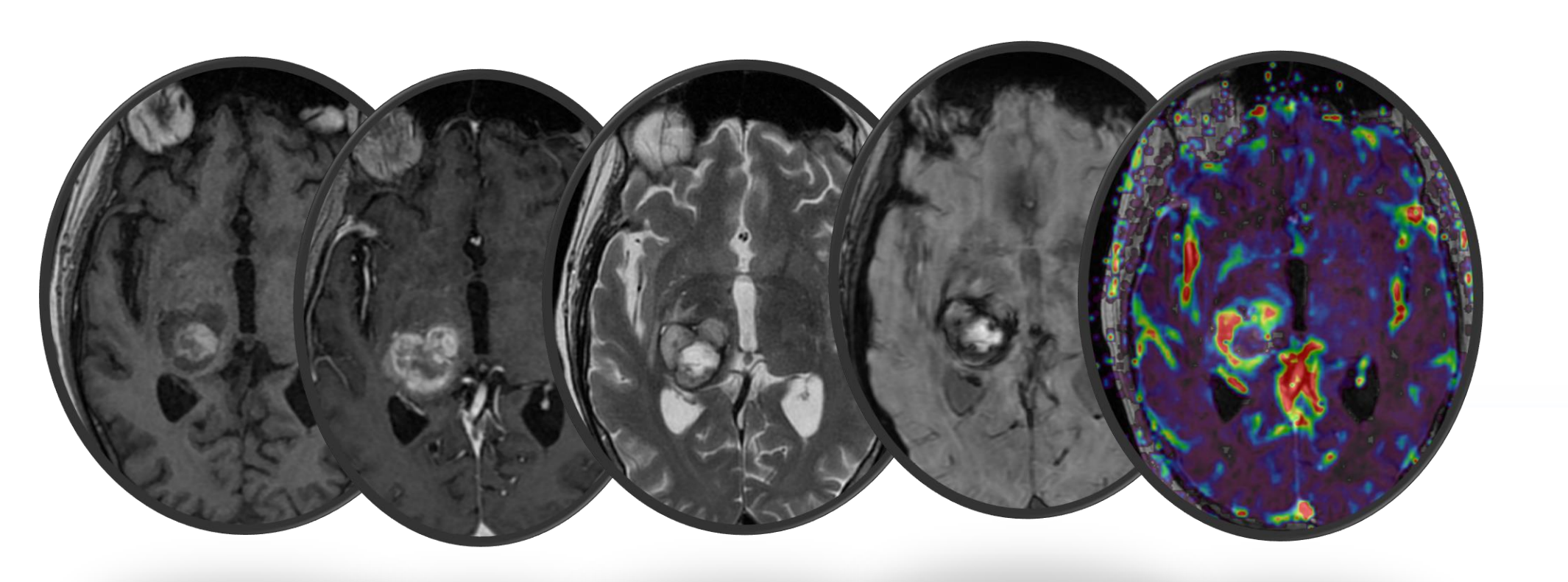














RM EN LA HEMORRAGIA CEREBRAL

Localización de la HIC Secundaria.



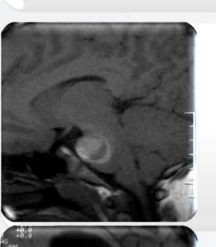
LOBAR/PROFUNDA

Anticoagulación

Drogas

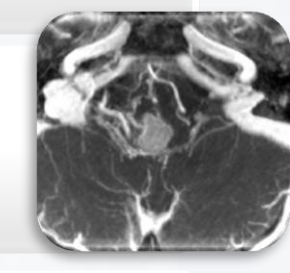
Malformaciones vasculares y <u>Tumores</u>





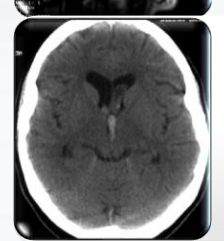
TRONCO

- Malformaciones vasculares
- Cavernomas



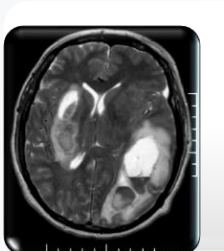
CEREBELO

- Malformaciones vasculares
- Anticoagulación



INTRAVENTRICULAR

- Aneurisma Art Co Anterior
- Malformaciones vasculares
- Anticoagulación

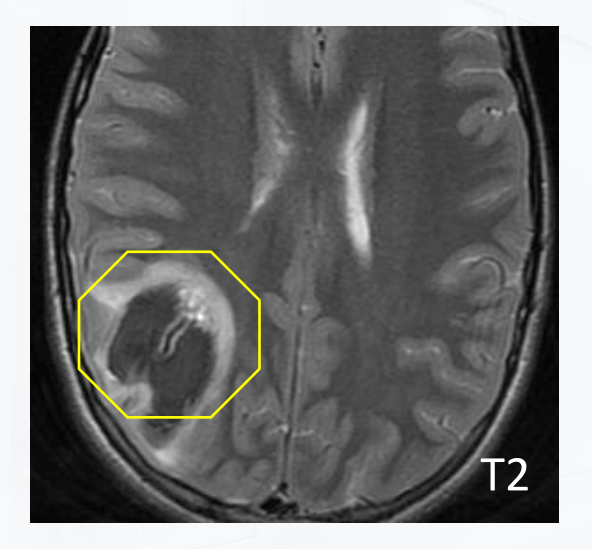


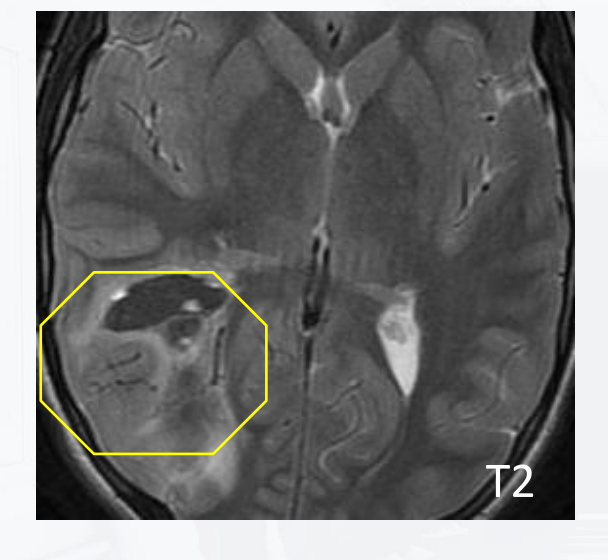
MULTIPLES

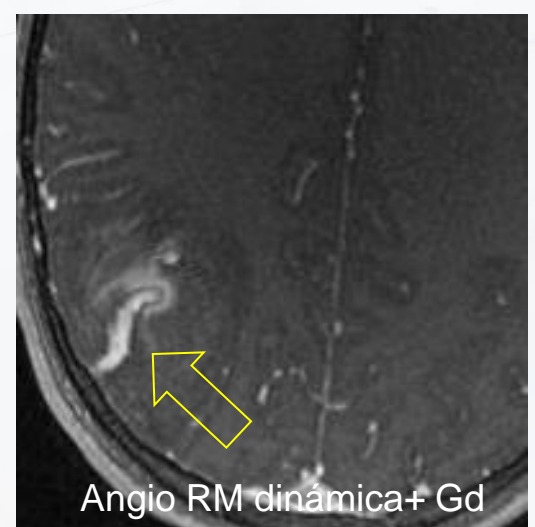
- Anticoagulación
- Infartos venosos
- Metástasis

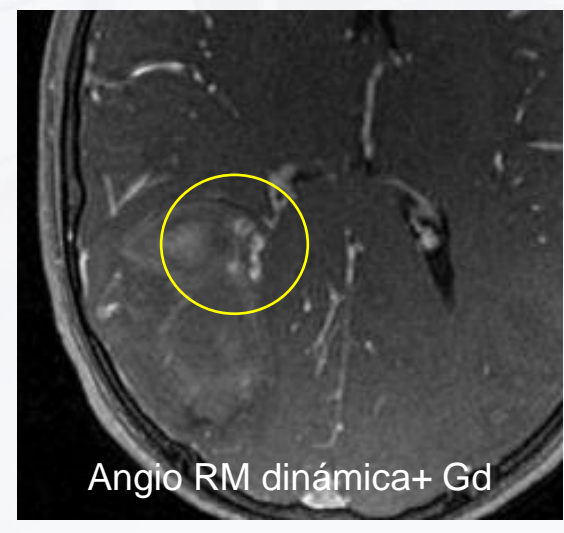












REMEMBERACIA CEREBRAL

HIC Secundaria: Malformaciones vasculares

HIC Espontánea en menores de 40 años el 70% causada por malformaciones vasculares.

Malformaciones arterio-venosas.

Fístulas durales.

Cavernomas.

Datos en RM que sugieren HIC

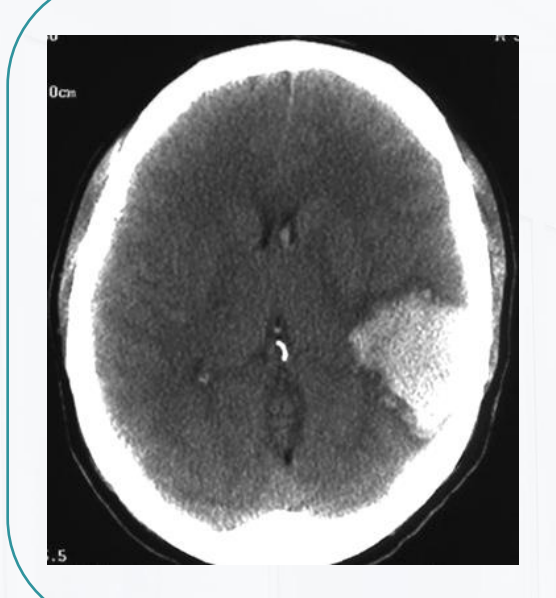
< 45 Farcteres de riesgo de HIC en MAV

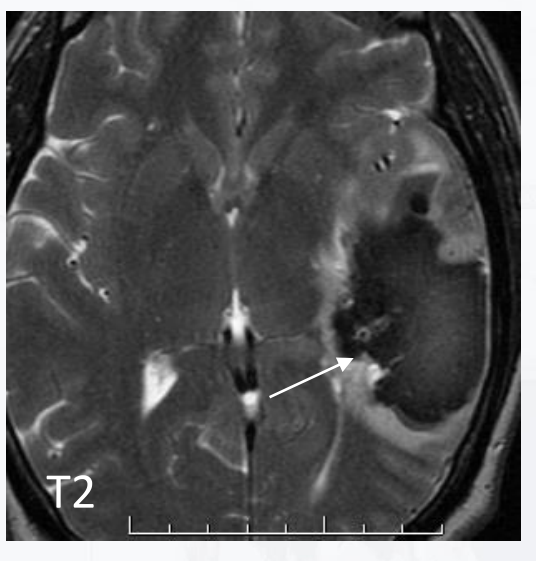
ılar. 1. Hemorragia previa

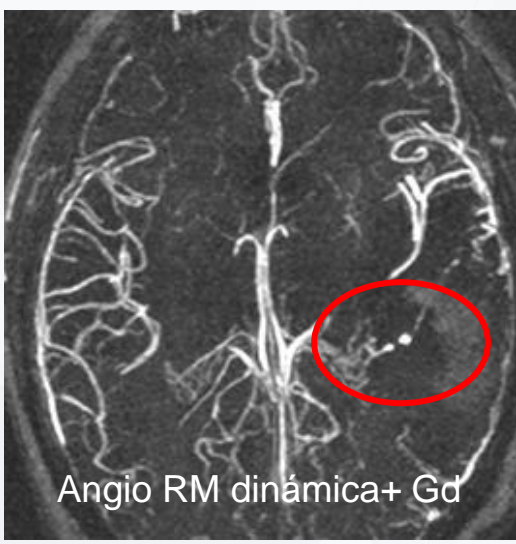
- 2. Aneurismas intranidales
- 3. Estenosis drenaje venoso
- 4. Drenaje venoso profundo.
- 5. Vena drenaje única.
- 6. Localización FP o profunda

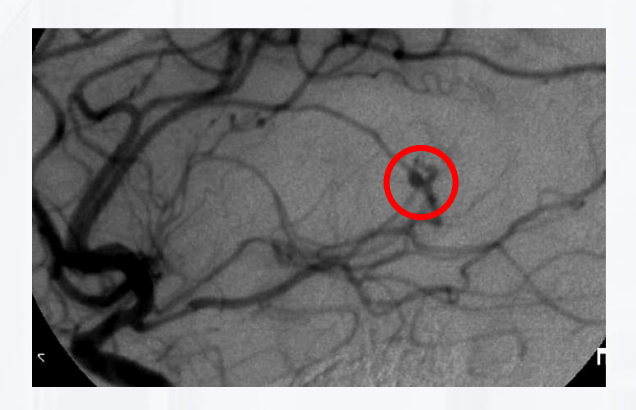


RM EN LA HEMORRAGIA CEREBRAL





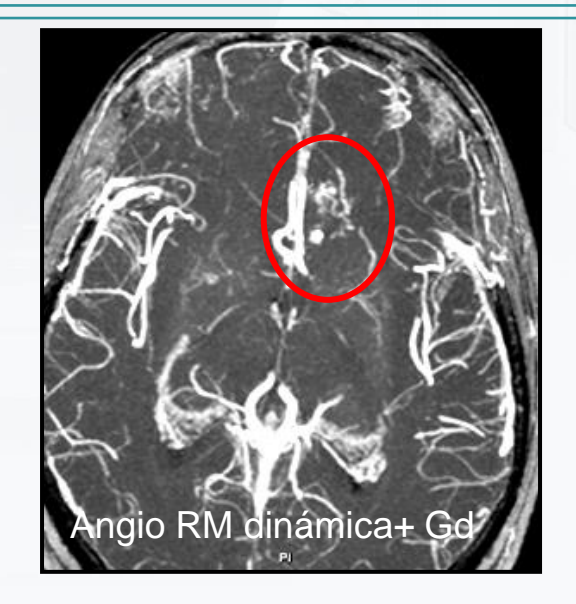




Micro MAV con componente fistuloso

Micro MAV con microaneurisma



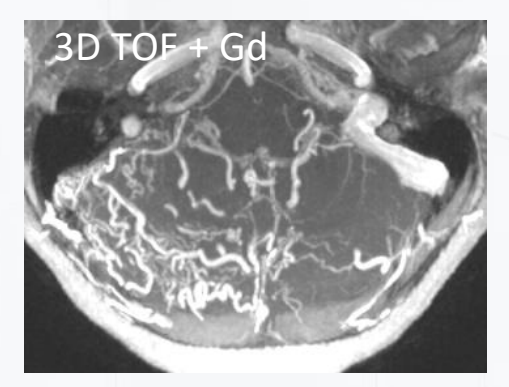


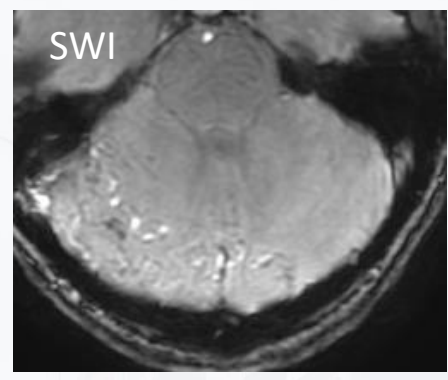


RM en la Patología del Sistema Nervioso Central

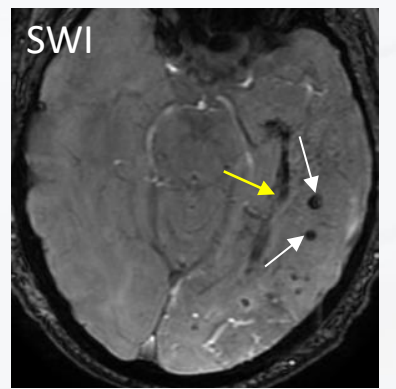


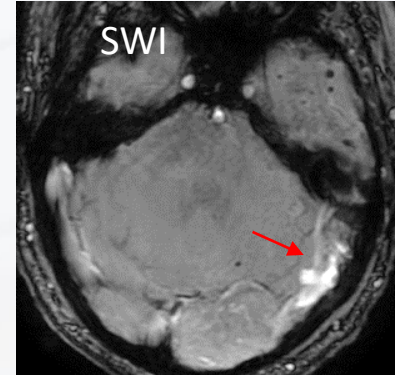
Se identifica una fístula a seno transverso derecho que tiene oclusión distal y proximal (segmento de seno excluido). Existe reflujo a venas corticales cerebelosas que aparecen hiperintensas en SWAN . Fístula dural grado II de Borden.

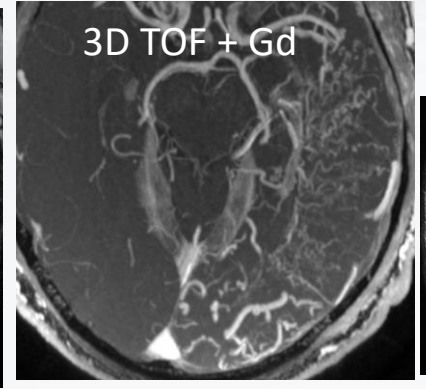


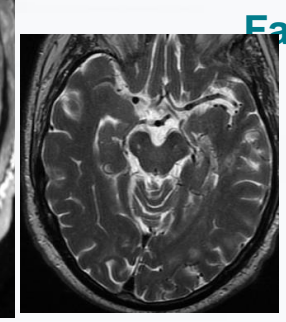


Hemorragia intraventricular producida por fístula dural Tipo II de Borden. La fístula se localiza en el seno lateral izquierdo (signo de hiperintensidad de señal en SWI que afecta también a venas dilatadas con flujo retrógrado por trombois distal en seno sigmoide izquierdo). Múltiples venas subaracnoideas dilatadas en lóbulos occipital y temporal izquierdo. Múltiples microhemorragias en cerebelo y hemisferio cerebral izquierdos. Escasa traducción en secuencias potenciadas en T2









RM EN LA HEMORRAGIA CEREBRAL

HIC Secundaria: Fístulas durales

Hemorragia: es la forma de presentación en el 23% .. **SWI muy útil para mostrar la hemodinámica venosa:**

- ✓ Venas dilatadas refleja congestión venosa
- ✓ Señal hiperintensa en las venas refleja drenaje retrogrado cortical venoso y ayuda en la localización de la fístula.
- ✓ Hipointensidad en SWI, zona de riesgo de hemorragia.
- Edema y microhemorragias son signos de riesgo de sangrado

Localizaciones de riesgo en fístulas durales:

Tentorio

Fronto-basal

Foramen Magno

Convexidad

Factores de riesgo

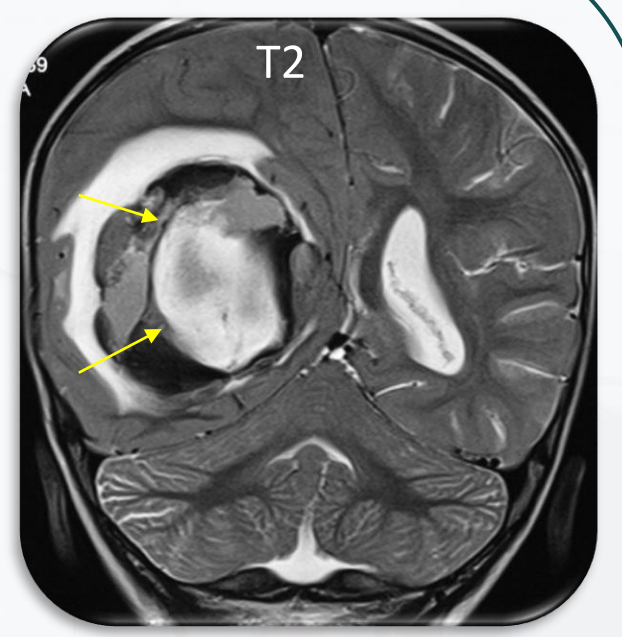
Mayor grado en clasificación de Borden:

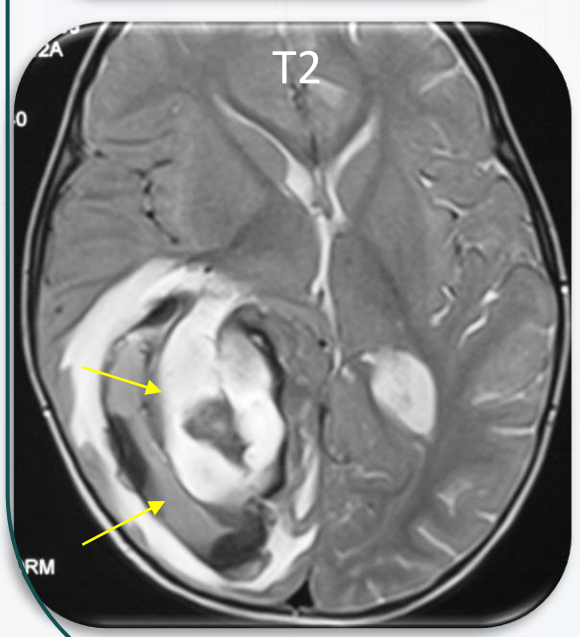
Tipo I: Drena en seno dural o vena meníngea.

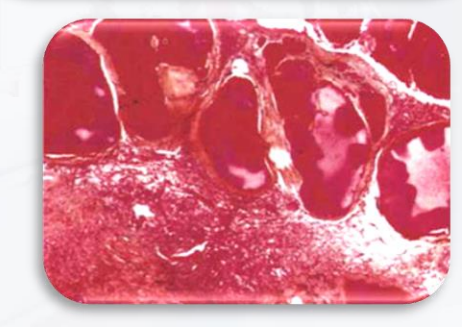
Tipo II: Drenaje retrogrado a venas subaracnoideas.

Tipo III: Drenaje directo a venas subaracnoideas.

Soprated Española de Radiología Mádico,



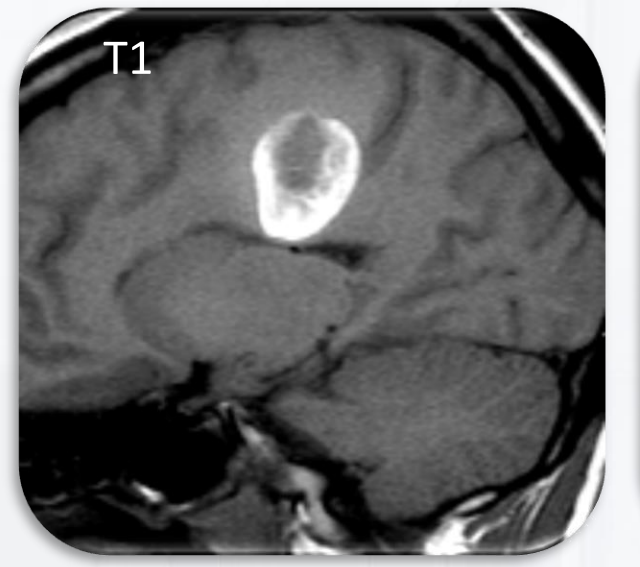


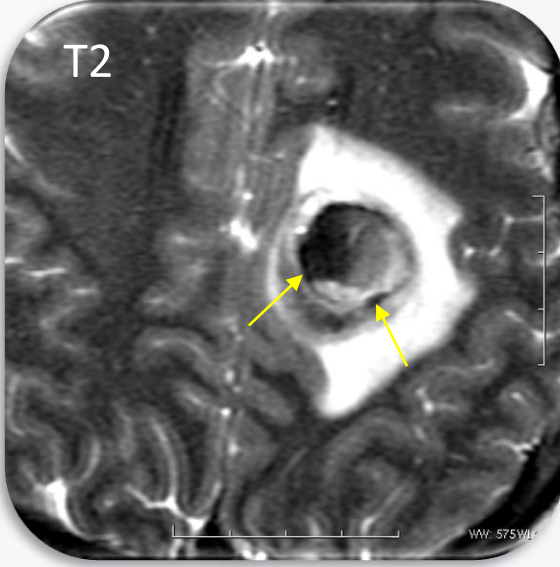


Niño de 8 años.

Cefalea brusca y somnolencia. Cavernoma con sangrado Cavernoma corresponde a la lesión hiperintensa central

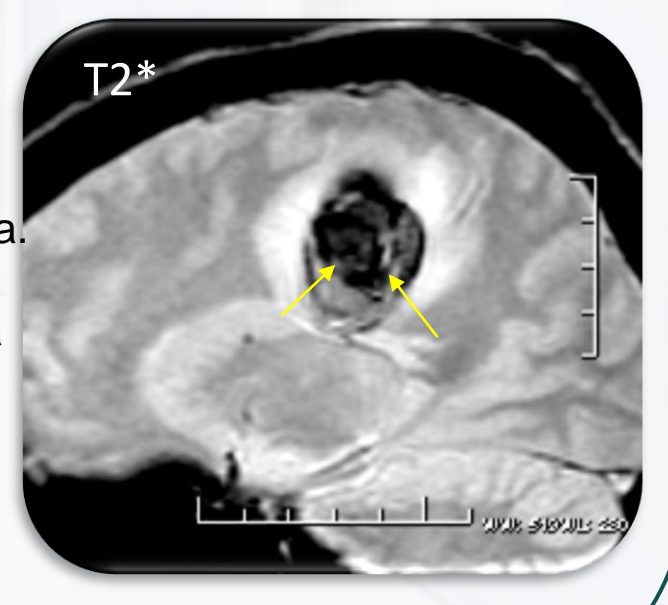
RM EN LA HEMORRAGIA CEREBRAL





Adulto, 45 años.

Cefalea brusca y hemiparesia. Cavernoma con sangrado Cavernoma corresponde a la lesión hipointensa central



RM en la Patología del Sistema Nervioso Central



Anticoagulación y drogas

Anticoagulación y HIC

Aumentp X 10 riesgo de sangrado

Edad: > 65-70 años

Hipertensión

Uso asociado de aspirina

Duración del tratamiento > riesgo 1º año

Intensidad de la anticoagulación

Presencia de leucoaraiosis ???

Angiopatía amiloide ???

Hemorragia inducida por drogas.

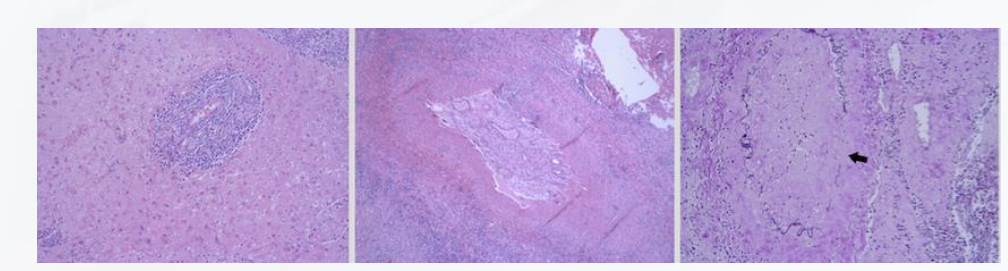
Drogas: anfetaminas, cocaina, drogas de diseño

Formas crónicas de abuso.

Mecanismo:

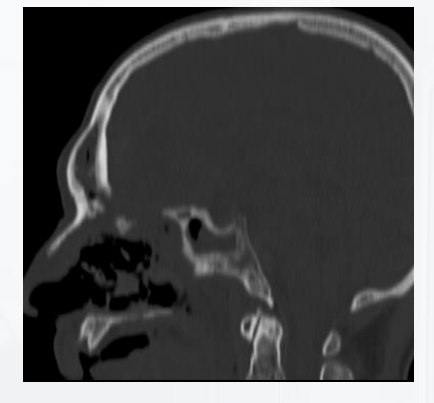
HTA

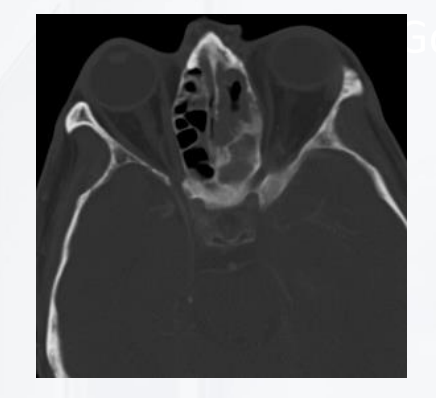
Vasculitis: efecto tóxico directo o simpaticomimético.,

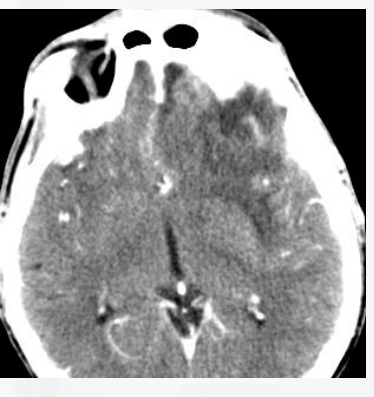


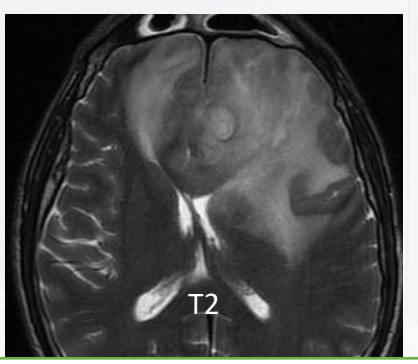
Infiltrado linfoplasmocitario de distribución perivascular. Rodeado de astrogliosis y necrosis. Lesiones vasculíticas agudas con inflam.transmural y rotura de endotelio y lamina elástica. Lesiones vasculíticas crónicas con trombosis intraluminal y fibrosis de la pared vascular.

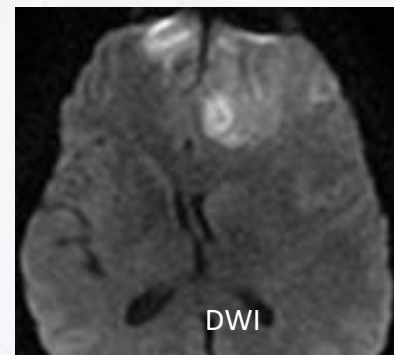
RM EN LA HEMORRAGIA CEREBRAL

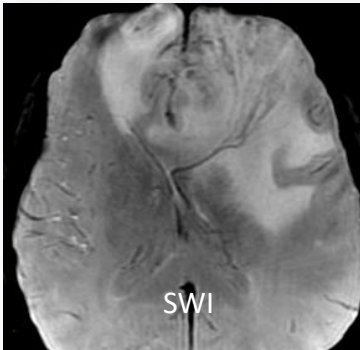




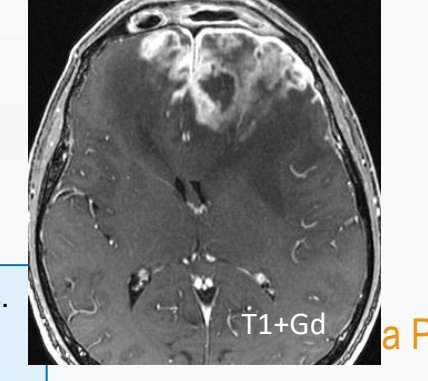


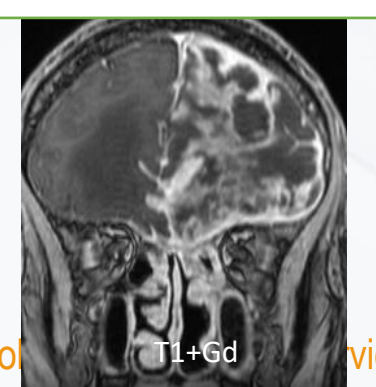


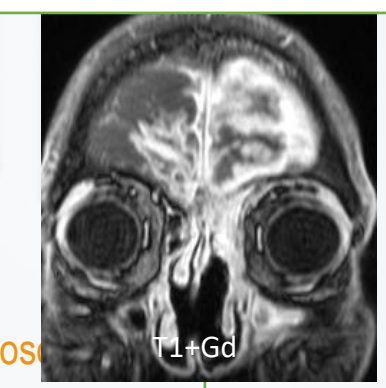


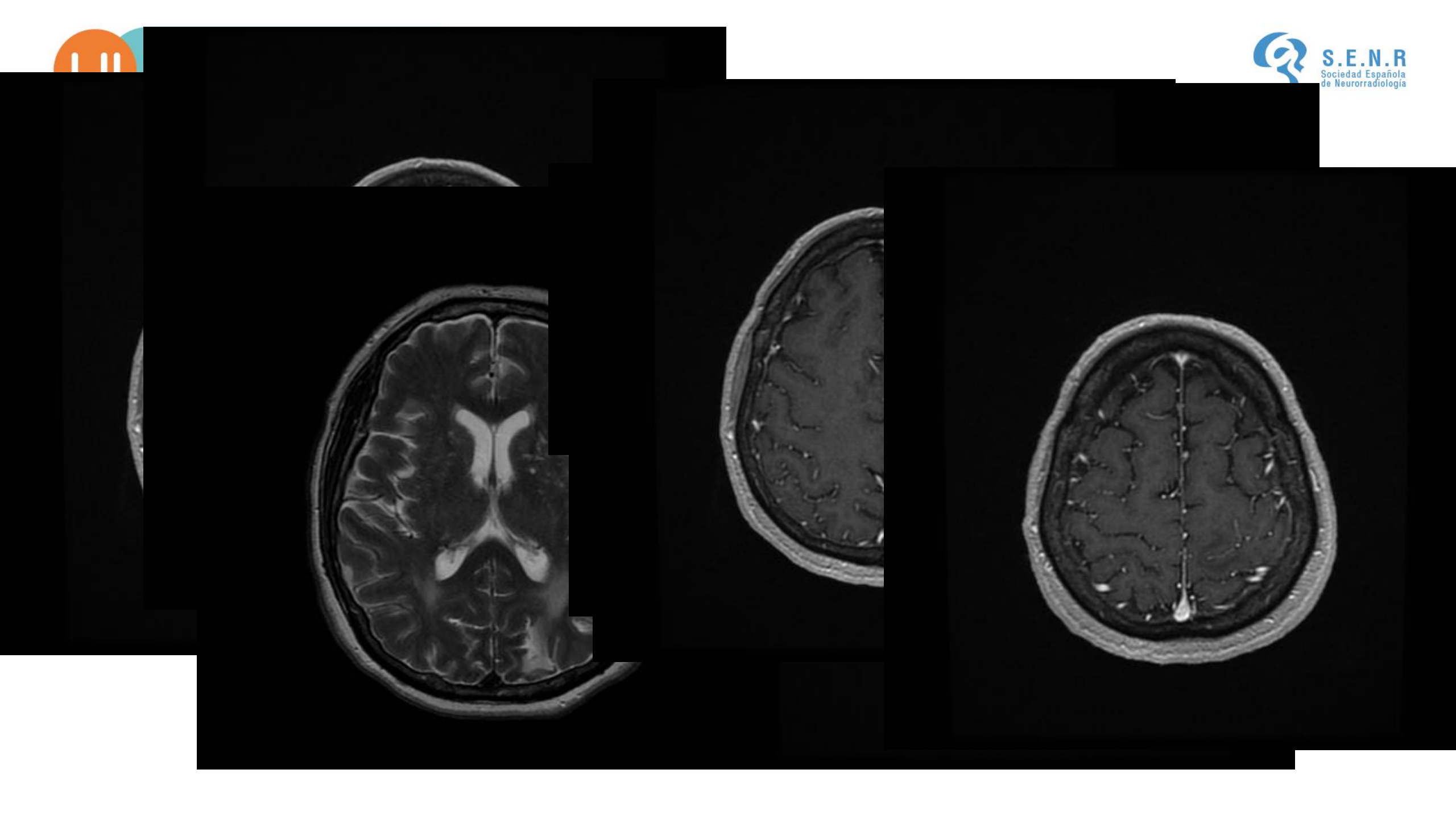


<u>Vasculitis ANCA positiva</u> (anticuerpos anticitoplasma de neutrófilos) inducida por cocaína con lesión destructiva de línea media inducida por cocaina



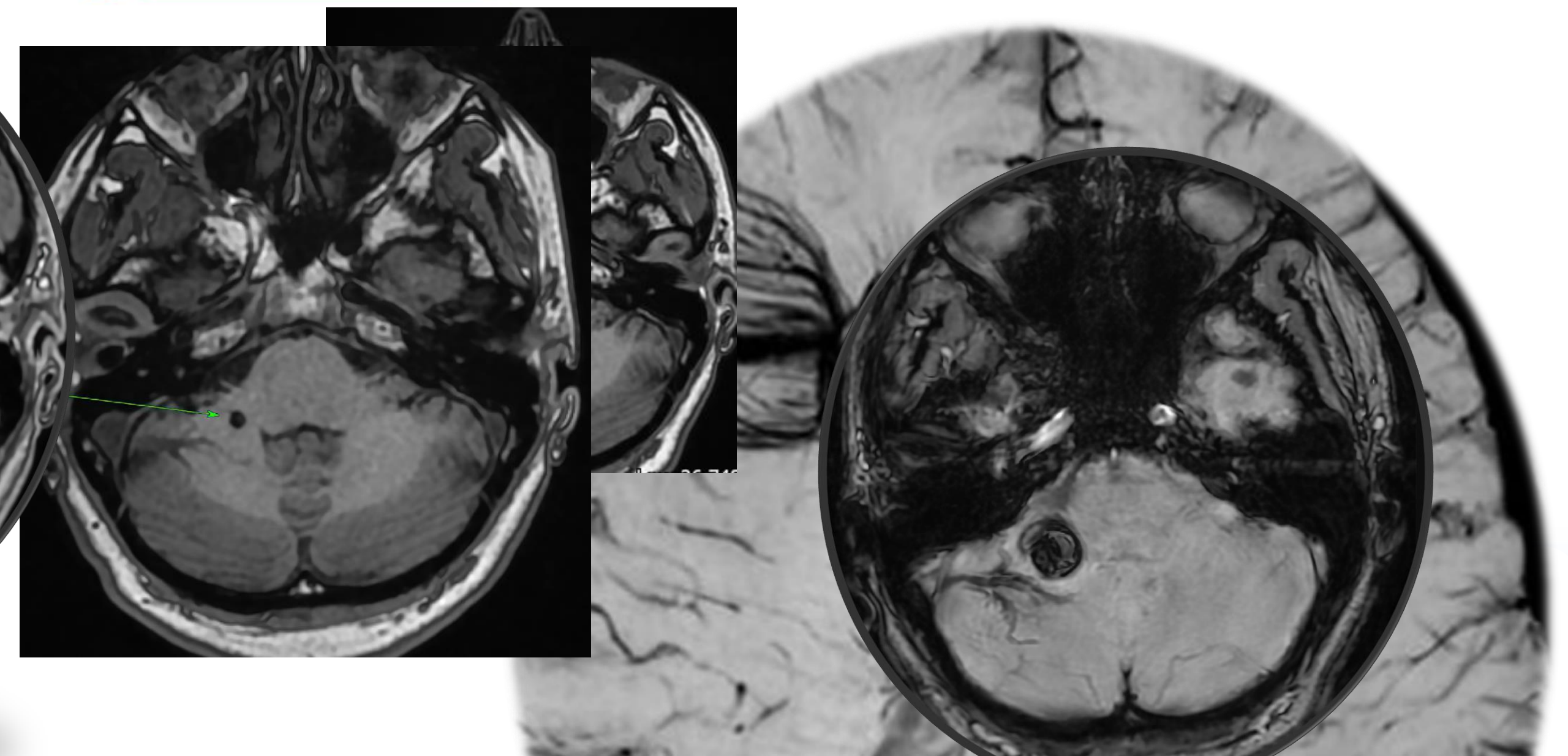






















Riesgo de nueva HIC

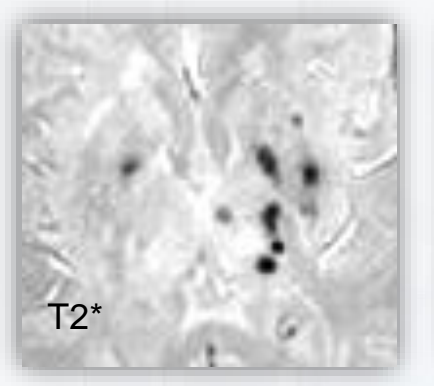
- El riesgo de recurrencia de una HIC primaria es mayor en los pacientes con angiopatia amiloidea como causa del hematoma que en el resto
- Fin HIC de origen amiloideo la existencia de mas de una microhemorragias basales vs ninguna se asocia con recurrencia del hemorragia
- En casos de HIC primaria no amiloidea se necesitan al menos 10 microhemorragias para aumentar el riesgo de sangrado.
 - La presencia de una microhemorragia aislada no aumenta el riesgo de HIC ni de origen amiloideo ni hipertensivo

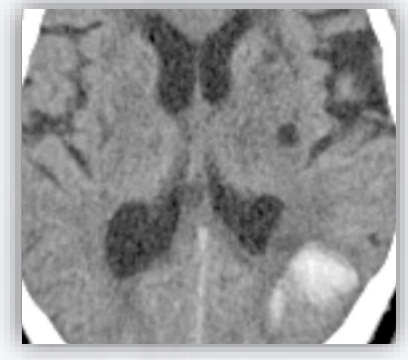
RM EN LA HEMORRAGIA CEREBRAL

Microhemorragias: Utilidad en la diferenciacion de una hemorragia cerebral

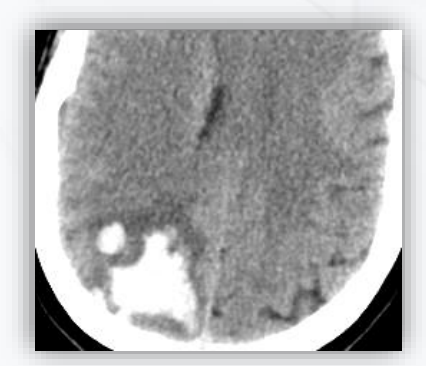
Angiopatía arteriosclerotica

Microhemorragias profundas: GGBB, tronco y cerebelo Infartos lacunares hemorrágicos





Angiopatía amiloidea: Microhemorragias de localizacion exclusiva lobar Siderosis superficial

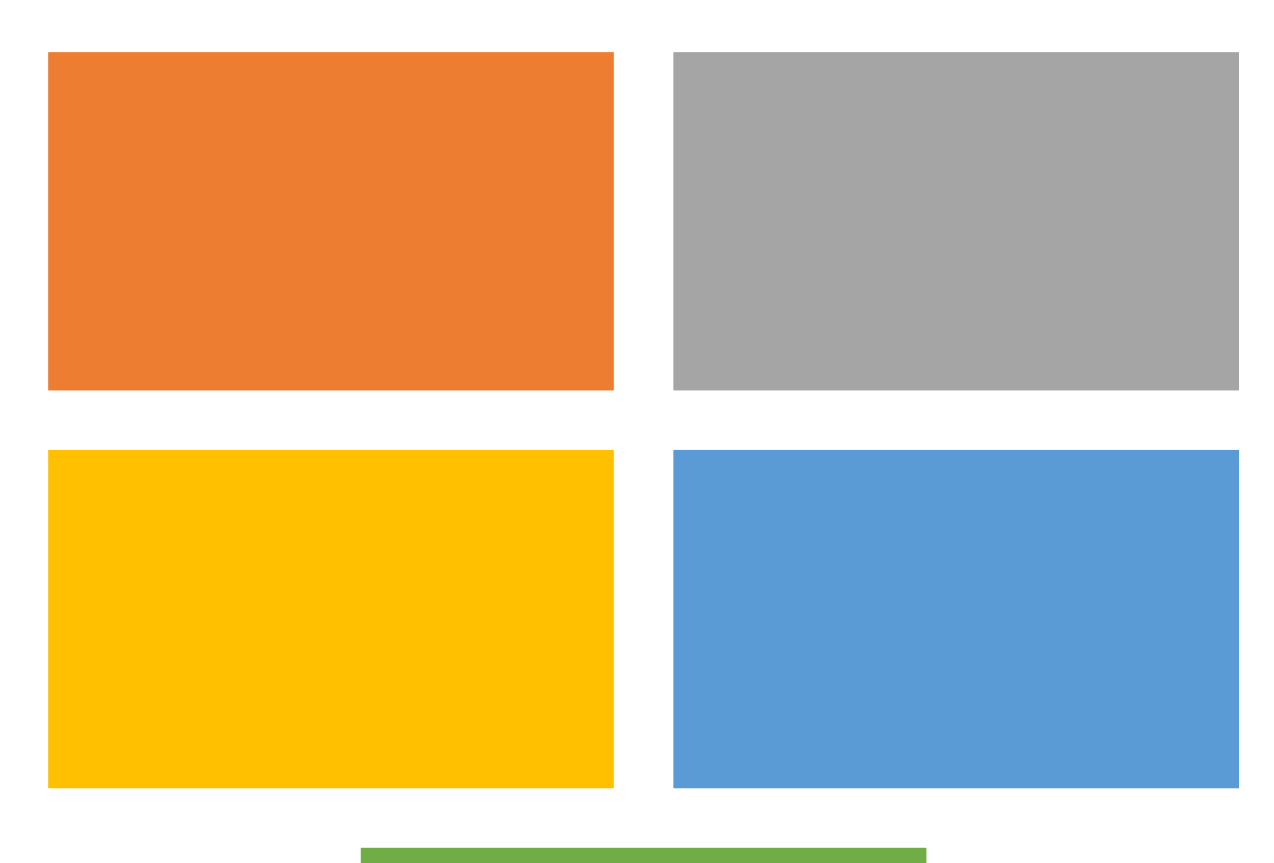




RM en la Patología del Sistema Nervioso Centrol









Angiopatía Amiloide Cerebral (AAC): Siderosis Cortical Superficial (cSS)

La siderosis cortical superficial está producida por vasos frágiles por deposito de amiloide que se rompen y ocasionan HSA que en fase aguda se identifican en TC e hiperintensas en FLAIR.

En fase subaguda y crónica los productos de degradación de la sangre(macrófagos con hemosiderina) se depositan en las capas superficiales del cortex y en región subpial.

Imagen bilineal hipointensa rodeando uno o varios surcos.

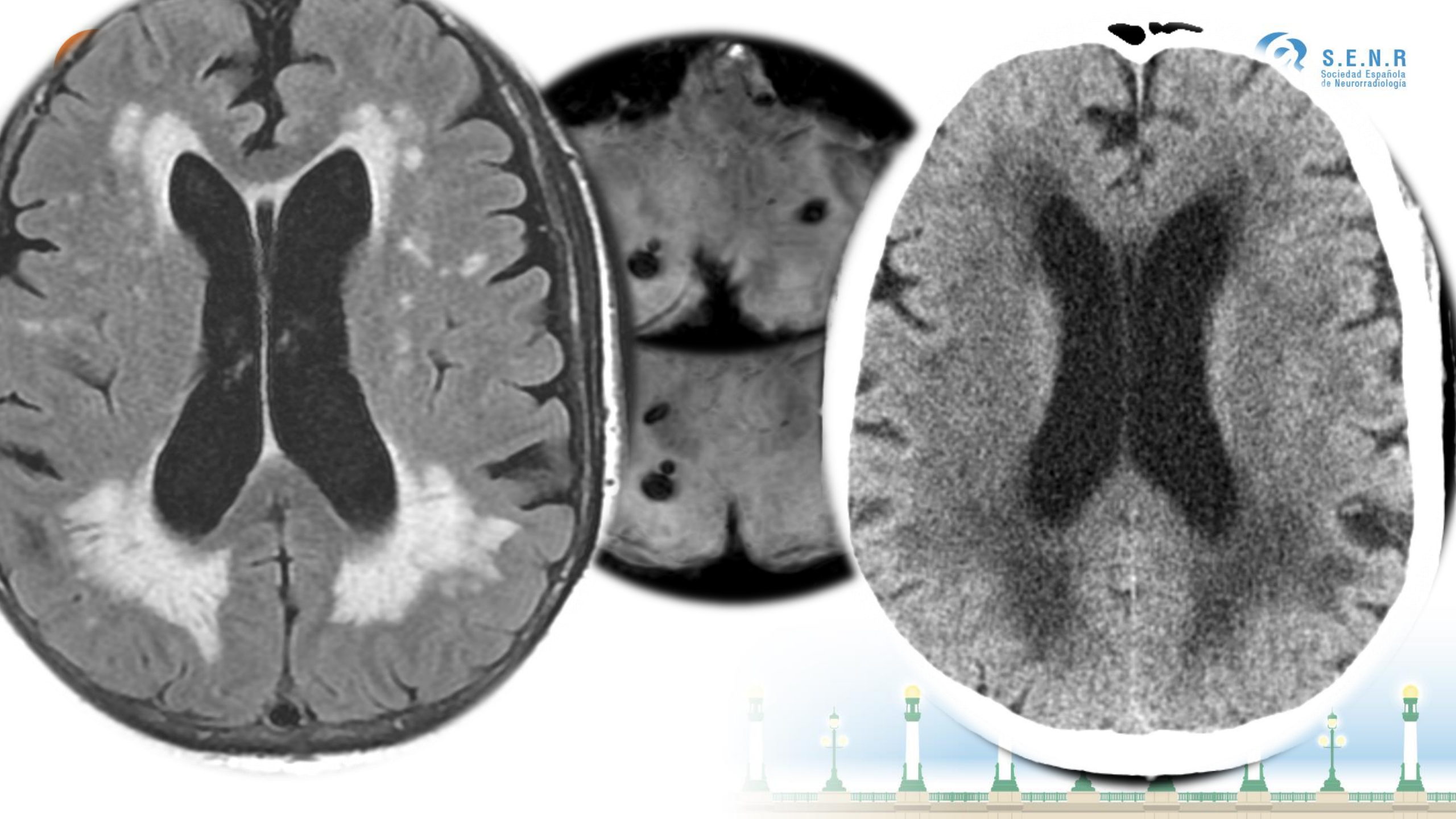
RIESGO: Asocia riesgo de hemorragias lobares (16% anual).

HSA en convexidad en >60 años : Diag Angiopatía amiloide y en jóvenes considerar SVCR

cSS generalmente va unida a microhemorragias lobares.





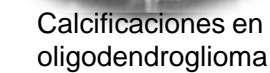


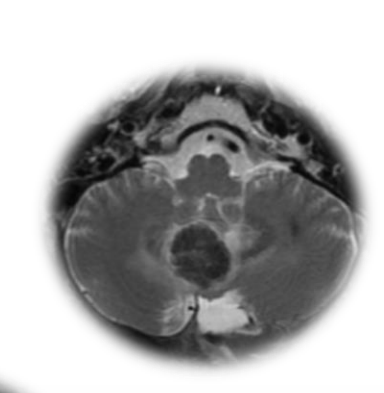


Simuladores de hemorragia



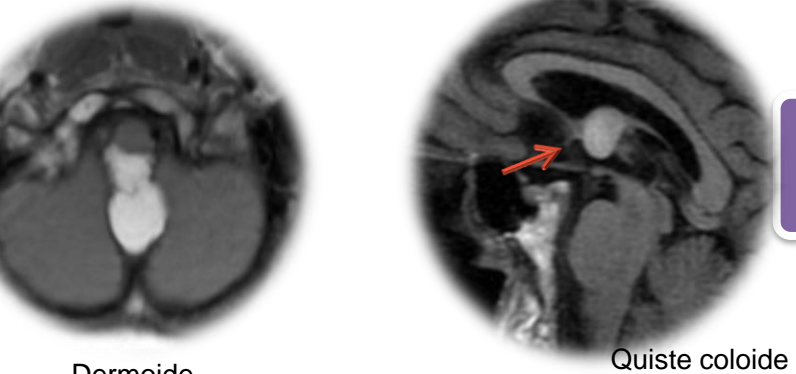




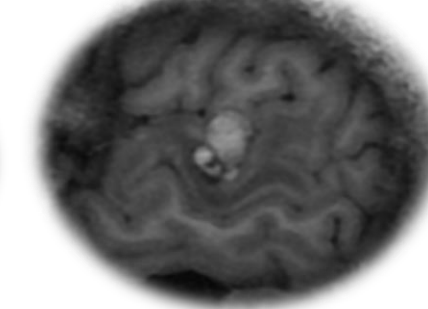


Metastasis de adenoca. de colon

Aneurisma de ACM



Dermoide



Metástasis de

melanoma

Metástasis de adenoca, mucinoso



Hiperintensidad en T1

Grasa

Alto contenido proteico

Calcificación

Material mucinoso

Melanina tumoral

Artefacto, flujo lento

Hierro

Calcificación

Hipointensidad en T2

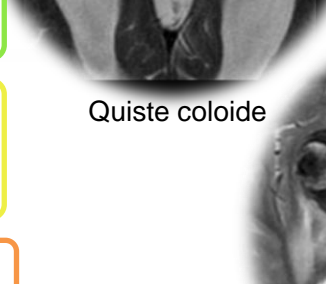
Alto contenido proteico

Material mucinoso

Flujo rápido o turbulento

Artefactos metal





Fe en GGBB

Artefacto





Pueden coexistir especialmente en ancianos

• El término enfermedad cerebral de pequeño vaso se usa indiscriminadamente para describir tanto los hallazgos de neuroimagen como los hallazgos en anatomía patológica.

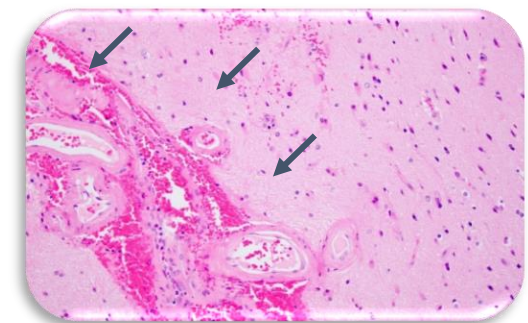
Angiopatia amiloide cerebral (AAC) (15% de los HIC)

- Condición frecuente en pacientes de edad avanzada
- Deposito de *B* amiloide en la capa media y adventicia de las arteriolas y capilares corticales y leptomeninges.

Angiopatia hipertensiva

- Proceso de degeneración arteriolar
- Relacionado con edad y con factores riesgo vascular (HTA y diabetes)
- Afecta a arteriolas perforantes de GGBBy de SB profunda.
- EN AP vemos arterioloesclerosis, lipohialinosis y aneurismas de Charcot Bouchard









SAN SEBASTIÁN

7 - 9 de noviembre de 2024



